

Modelagem de aterramento elétrico para análise de transitórios

Walter Luiz Manzi de Azevedo

Orientador: Prof. Dr. José Pissolato Filho

Co-orientador: Dr. Anderson Ricardo Justo de Araújo

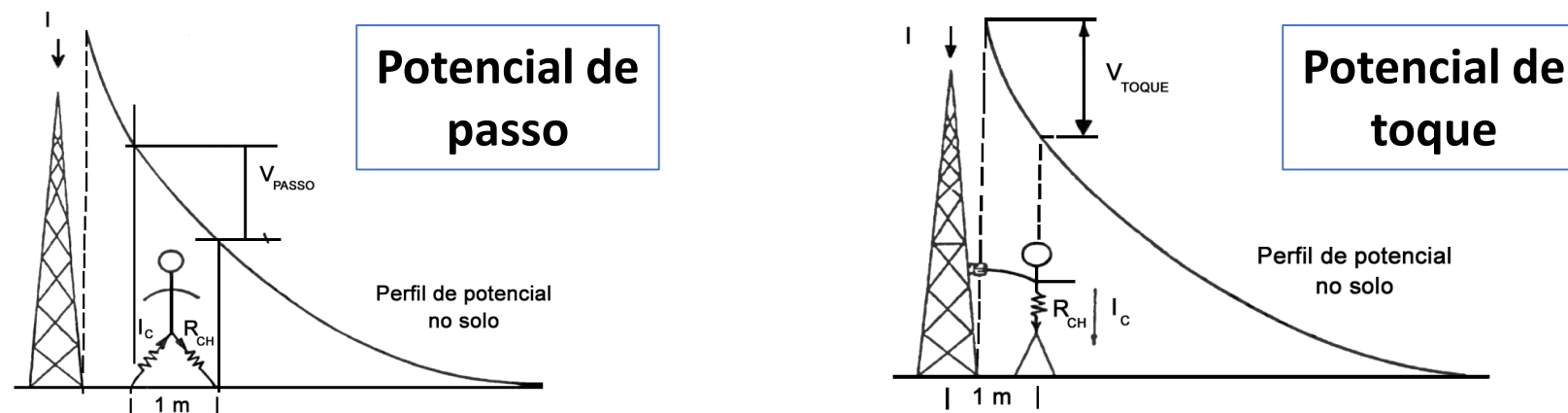
08/09/2023

Sumário

- **Introdução**
- **Modelagem do Solo**
- **Descargas Atmosféricas**
- **Metodologia**
- **Estudos de caso**
- **Conclusões**

Introdução

- Sistemas de aterramento (SA) consistem em uma conexão física entre um componente e o solo. Eles devem ter uma baixa impedância a fim de dissipar correntes elevadas durante um regime transitório (faltas ou descargas atmosféricas).
- Eles são fundamentais para:
 - proteção de pessoas e equipamentos próximos a esses componentes,
 - bom desempenho dos sistemas elétricos ao qual ele está conectado.



Fonte: Visacro, S. V. F. "Aterramentos elétricos conceitos básicos técnicas de medição e instrumentação filosofias de aterramento", pag. 121

Introdução

- O desempenho de um SA pode ser medido por meio de sua impedância harmônica de aterramento (Z_h) e sua resposta (GPR) frente à determinado fenômeno do qual se queira proteger (descarga atmosférica).
- Para fenômenos de baixa frequência SAs podem ser modelados por uma resistência.
- Fenômenos transitórios de altas frequências como descargas atmosféricas necessitam de modelos mais rigorosos devido a seu amplo espectro na frequência (MHz).

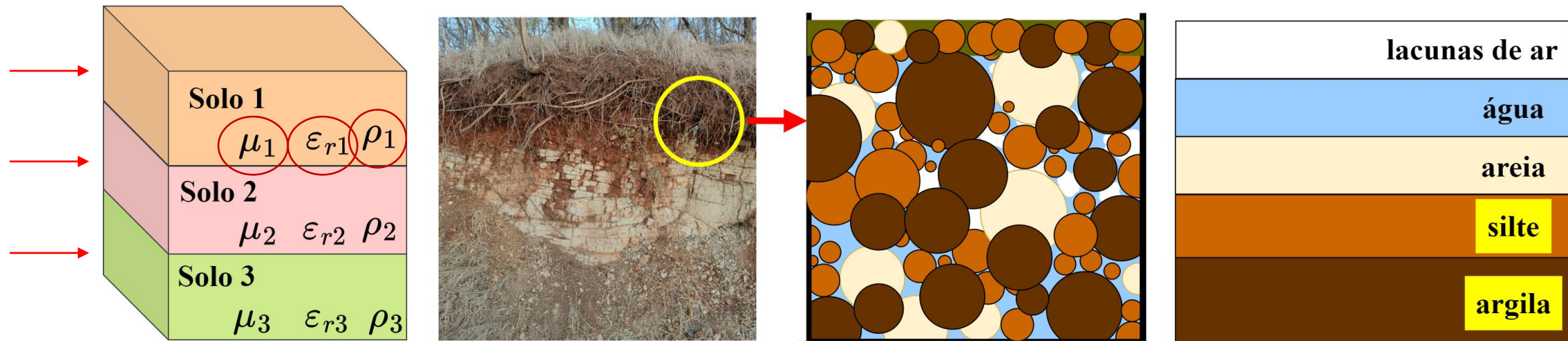
Introdução

- O solo pode ser representado por seus parâmetros elétricos resistividade, permissividade e permeabilidade magnética.
- Esses parâmetros dependem de diversas propriedades físicas, como a frequência, porosidade, umidade, temperatura, ionização e estratificação.
- Diversos pesquisadores têm estudado esse assunto, tais como:
 - Steinmetz: diminuição da resistividade com a frequência (1907);
 - Archie: formula empírica da resistividade em função da umidade e porosidade (1942);
 - Scott: medições mais precisas de resistividade e permissividade (1967);
 - Visacro-Alipio: metodologia para medir a resistividade em função da frequência (2011).

Introdução

- Este trabalho compara alguns modelos de solos propostos na literatura, levando em consideração a frequência, a umidade e a porosidade, para diversos SAs frente à descargas atmosféricas.
- As impedâncias harmônicas (Z_h) são calculadas para sistemas de aterramento usando o software eletromagnético FEKO[®] empregando o Método dos Momentos (MoM) para um amplo intervalo de frequência.
- A elevação de potencial de terra (GPRs) é computada utilizando o Vector Fitting para o ajuste da impedância harmônica e em seguida, emprega-se o método da convolução recursiva.

Modelagem do solo



Dependência da frequência:

- Longmire-Smith (LS) (1975)
- Portela (P) (1999)
- Visacro-Alipio (VA) (2011)
- CIGRÈ (2019)

Dependência da frequência e umidade:

- Scott (S) (1967)
- Longmire-Smith (LS) (1975)
- Messier (M) (1985)

Porosidade e umidade:

- Archie (1942)

Modelagem do solo: Frequência

LS

$$\epsilon_r(f) = \epsilon_\infty + \sum_{n=1}^{13} \frac{a_n}{1 + (f/F_n)^2}$$

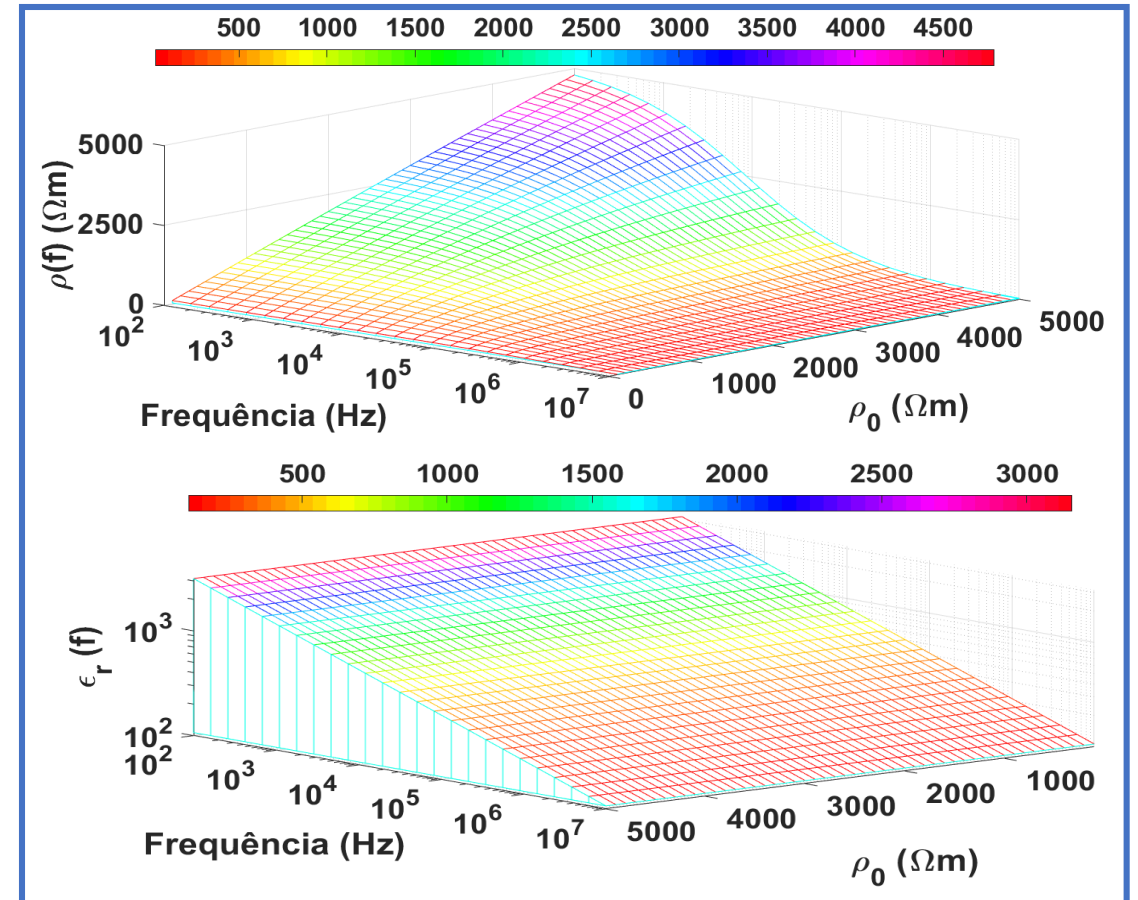
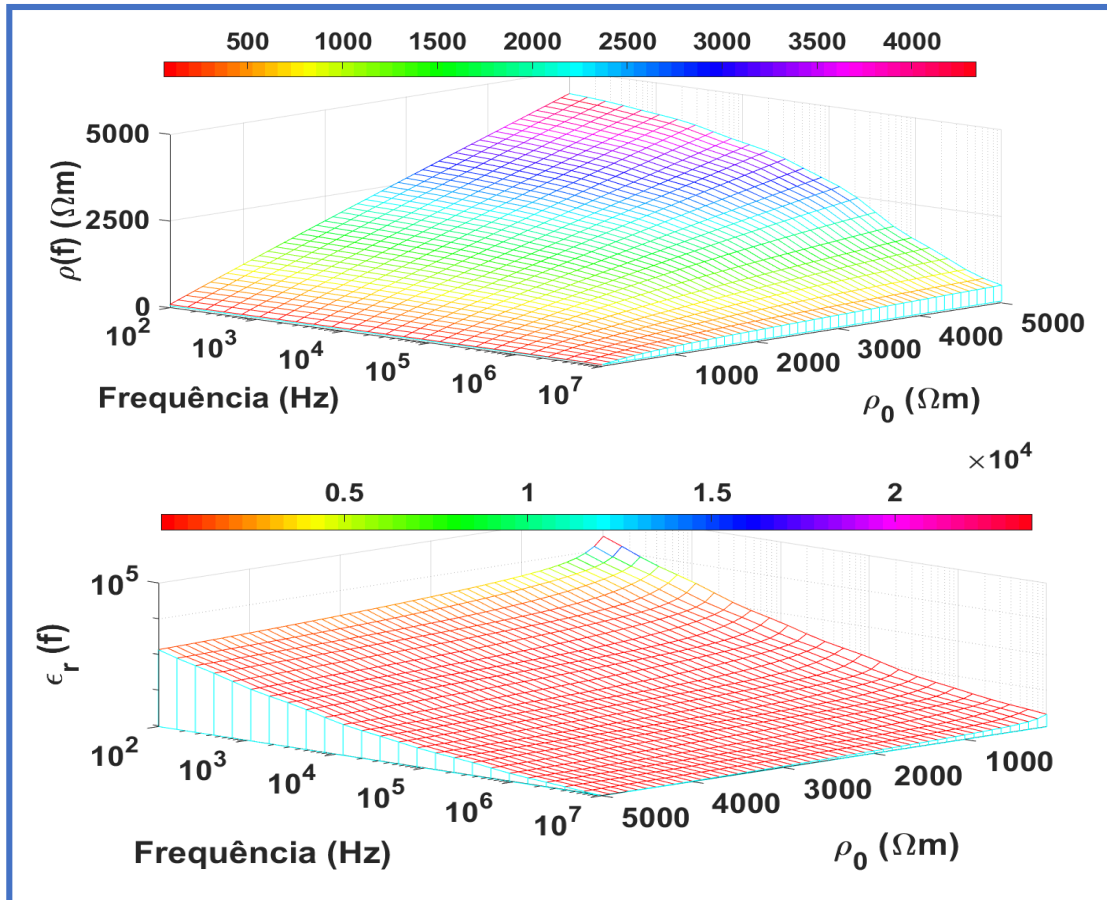
$$F_n = 10^{n-1} \cdot \left(\frac{125}{\rho_0}\right)^{0,8312}$$

$$\rho(f) = \left[\frac{1}{\rho_0} + 2\pi\epsilon_0 \sum_{n=1}^{13} a_n F_n \frac{(f/F_n)^2}{1 + (f/F_n)^2} \right]^{-1}$$

P

$$\sigma(f) + j\omega\epsilon(f) = \sigma_0 + \Delta_i \left[\cot\left(\frac{\pi}{2}\alpha\right) + j \right] \left(\frac{\omega}{2\pi \cdot 10^6}\right)^\alpha$$

$$\epsilon_r(f) = \Delta_i \left(\frac{f}{2\pi \cdot 10^6}\right)^{\alpha'} \frac{(f)^{-1}}{\epsilon_0}$$

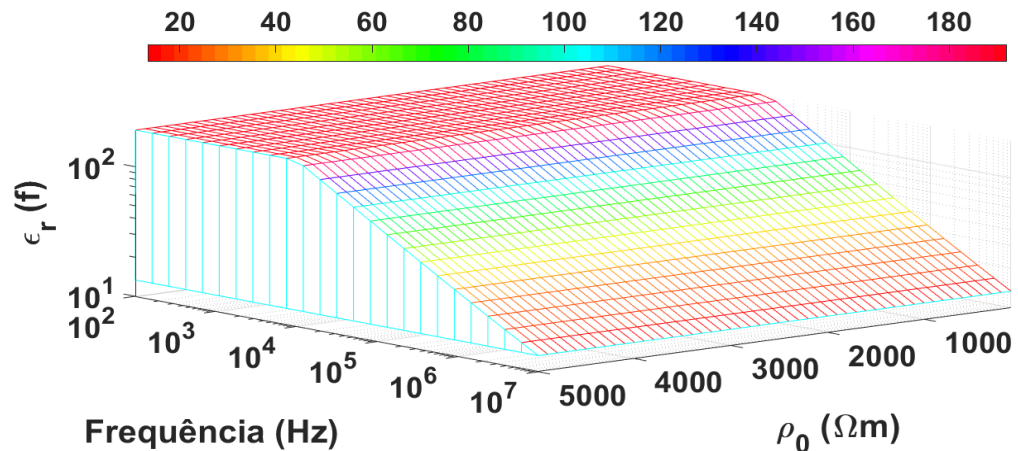
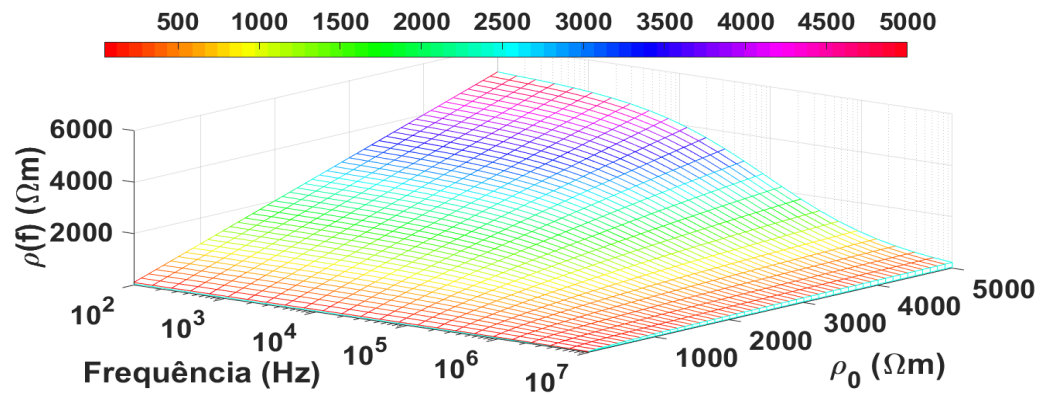


Modelagem do solo: Frequência

VA

$$\rho(f) = \frac{\rho_0}{1 + [1, 2 \cdot 10^{-6} \rho_0^{0,73}] [(f - 100)^{0,65}]}$$

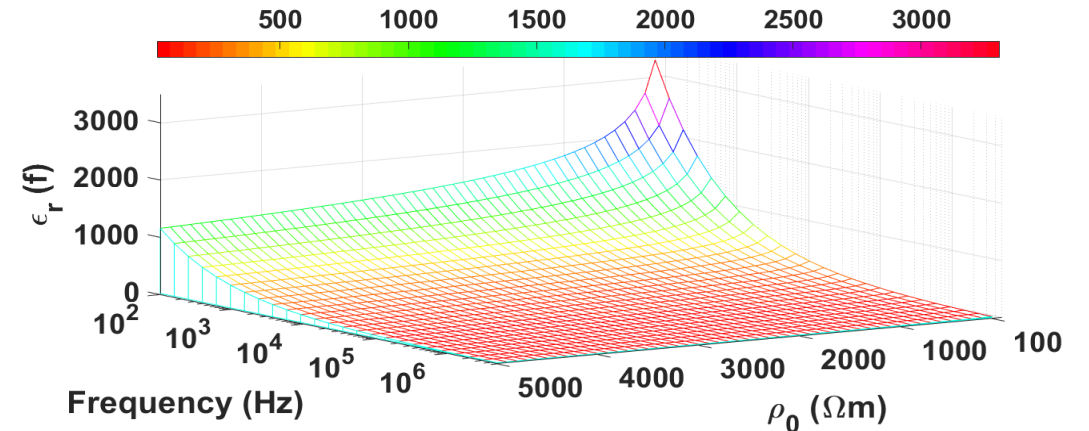
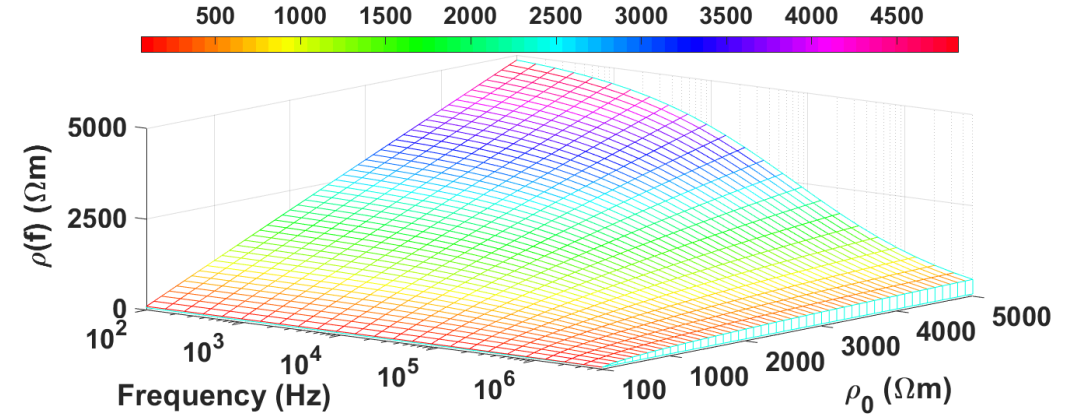
$$\epsilon_r(f) = \begin{cases} 7,6 \cdot 10^3 f^{-0,4} + 1,3 & f \geq 10 \text{ kHz} \\ 192 & f < 10 \text{ kHz} \end{cases}$$



CIGRÈ

$$\rho(f) = \frac{\rho_0}{1 + 4.7 \cdot 10^{-6} \rho_0^{0,73} f^{0,54}}$$

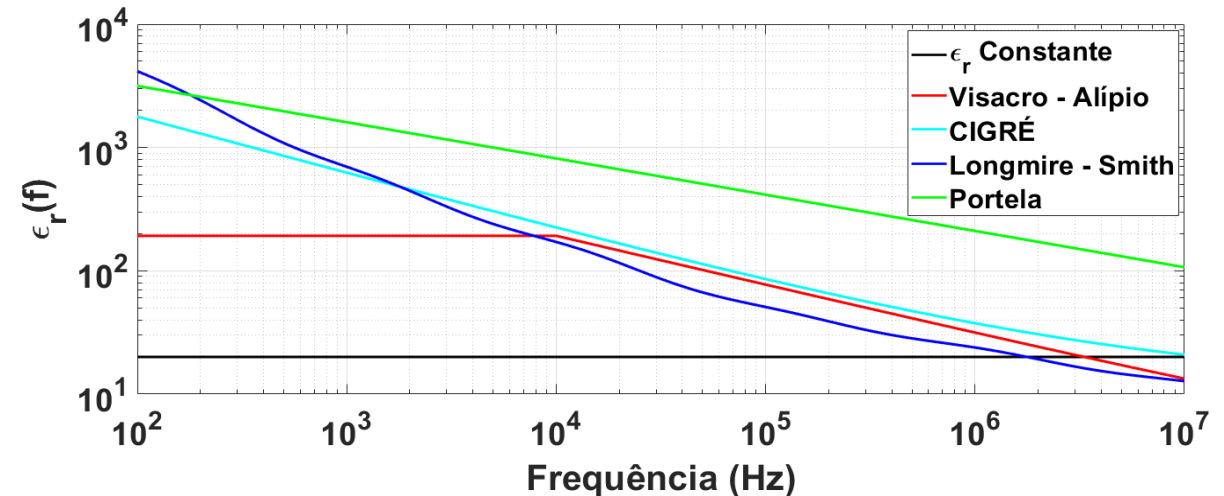
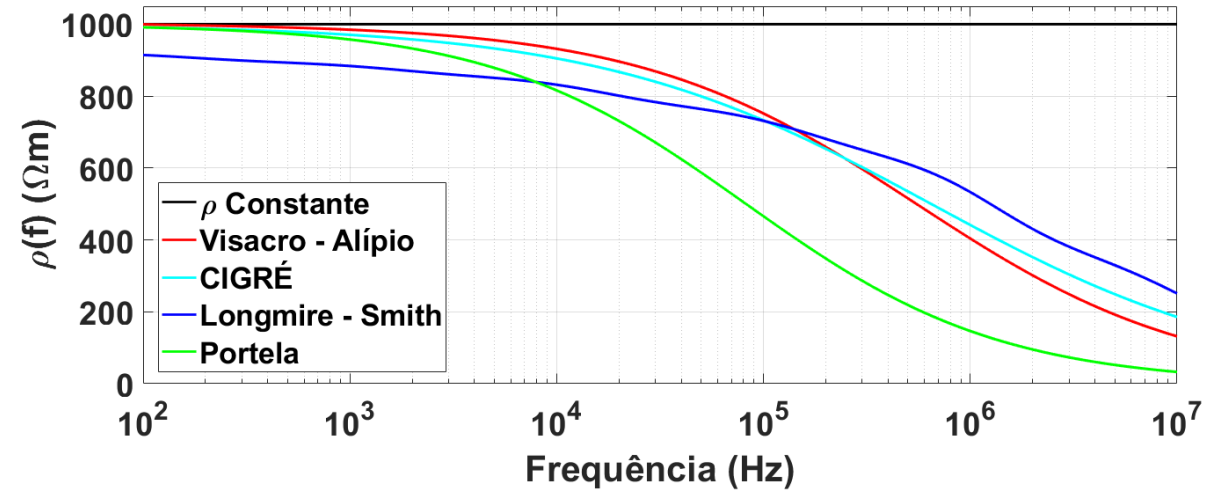
$$\epsilon_r(f) = 9.5 \cdot 10^{-4} \rho_0^{-0,27} f^{-0,46} + 12$$



Modelagem do solo: Frequência

Comparação dos modelos

- ρ_0 igual a 1.000 Ωm .
- Nas baixas frequências, os modelos estudados não apresentam uma grande variação em relação ao modelo constante.
- Em baixas frequências a permissividade fica distante da curva calculada pelo parâmetro constante.
- Elas se aproximam nas altas frequências.
- Solo se torna mais condutivo em altas frequências.



Modelagem do solo: Frequência e umidade

S

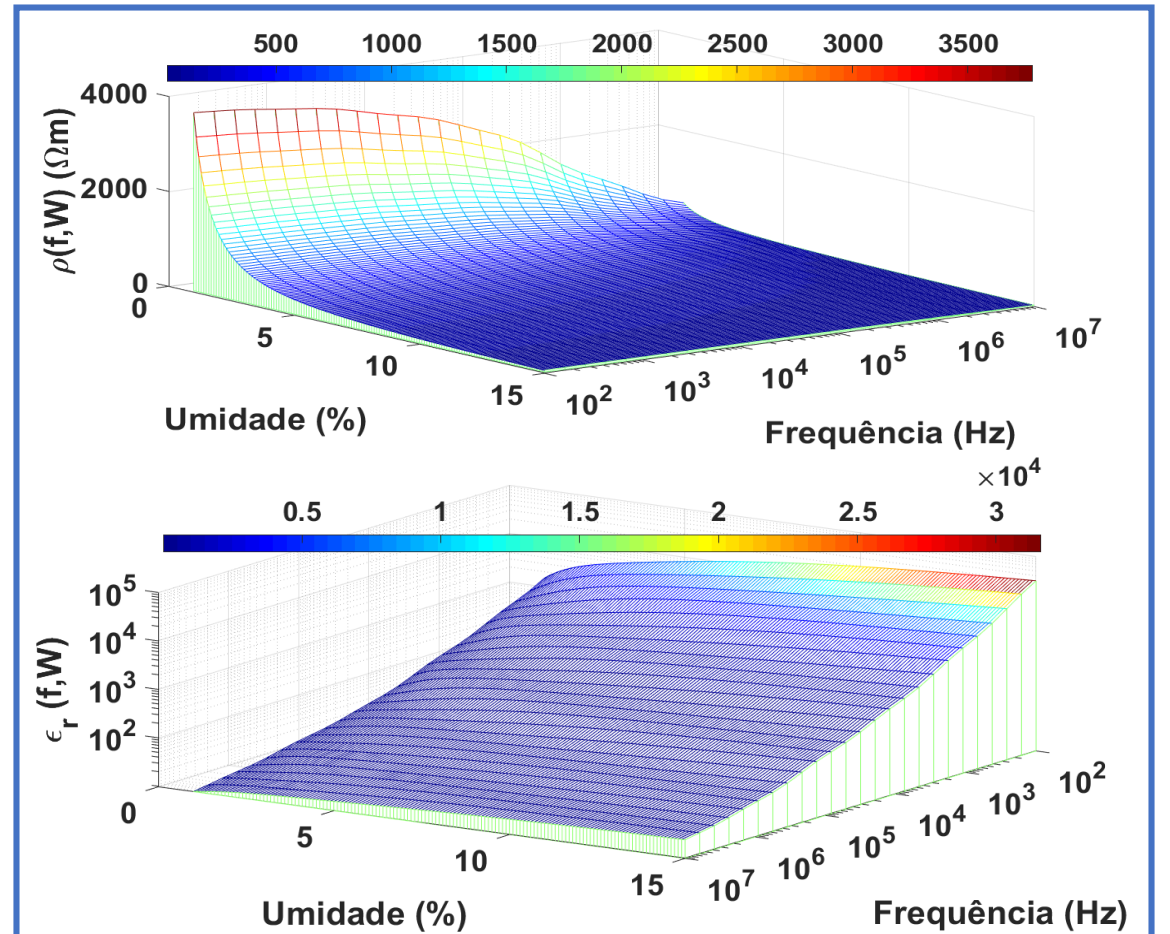
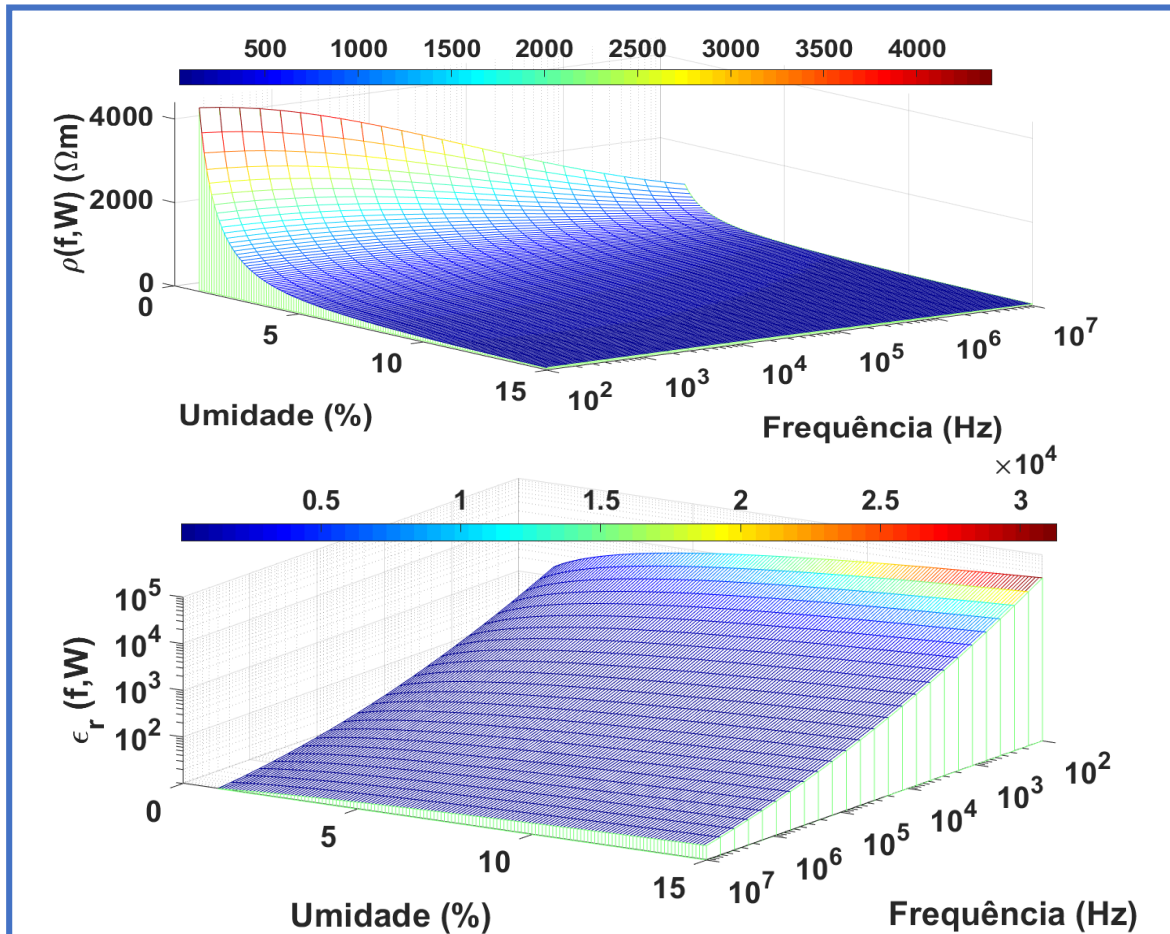
$$\rho(f, W) = 10^{0.604 - 1.64W_1 + 0.062f_1 - 0.062W_1^2 + 0.07W_1f_1 - 0.021f_1^2}$$

$$\epsilon_r(f, W) = 10^{4.905 + 1.308W_1 - 0.971f_1 + 0.111W_1^2 - 0.168W_1f_1 + 0.059f_1^2}$$

LS

$$\rho_g(f, W) = \left[\beta_0 + \epsilon_0 \sum_{n=1}^{13} a_n \beta_n \frac{(\omega/\beta_n)^2}{1 + (\omega/\beta_n)^2} \right]^{-1}$$

$$\epsilon_r(f, W) = \epsilon_\infty + \sum_{n=1}^{13} \frac{a_n}{1 + (\omega/\beta_n)^2}$$



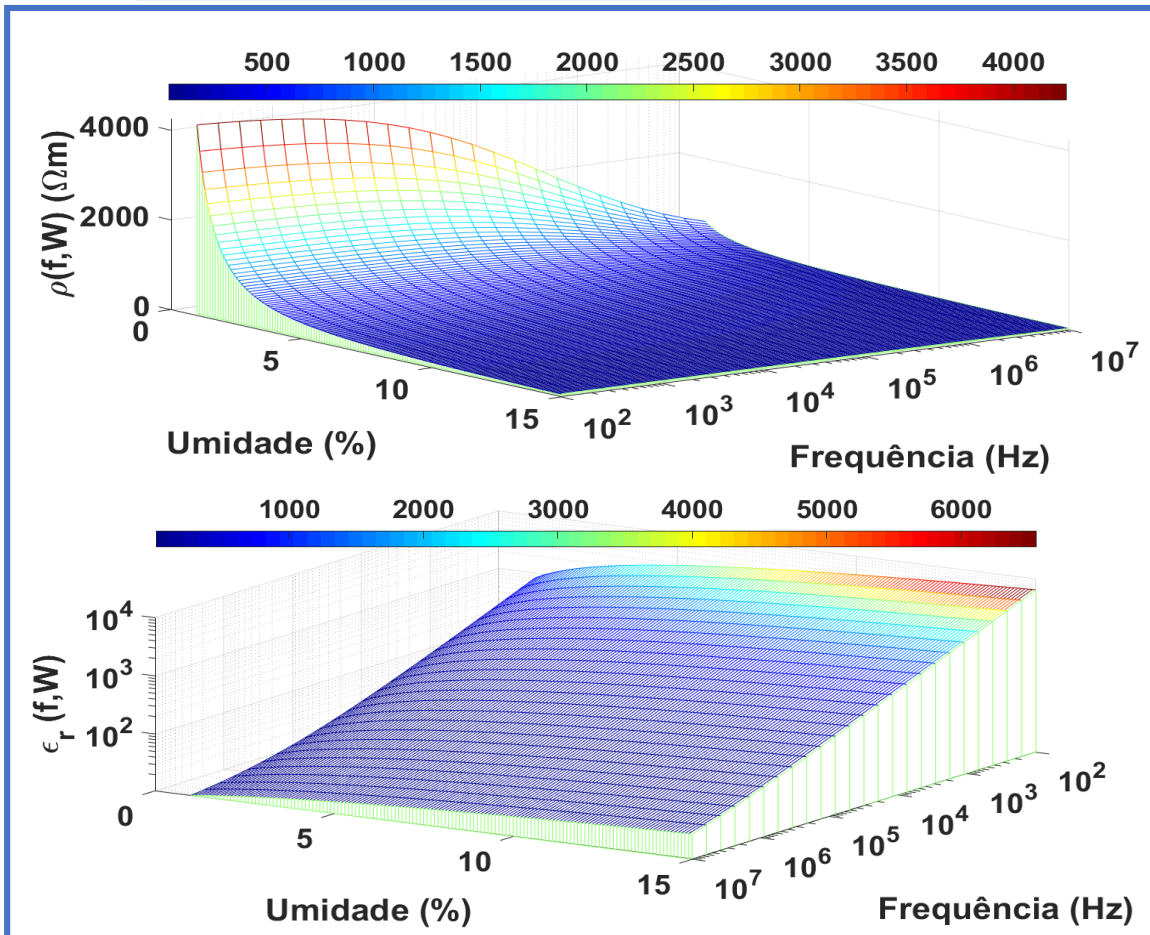
Modelagem do solo: Frequência e umidade

M

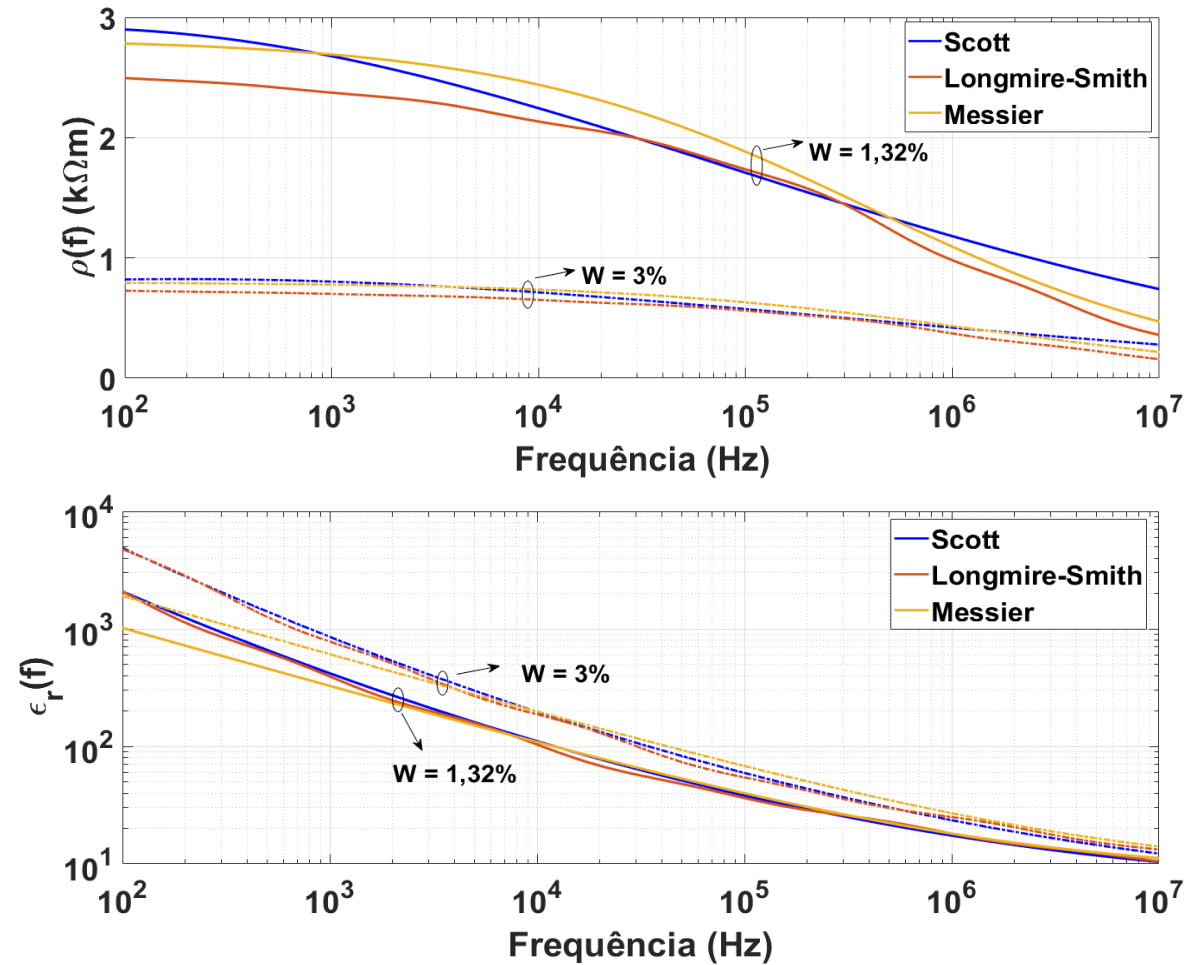
$$\rho_g(f, W) = \frac{\rho_0}{1 + \sqrt{4\pi f \epsilon_\infty \rho_0}}$$

$$\rho_0(W) = \frac{1}{8 \times 10^{-3} \left(\frac{W}{10}\right)^{1.54}}$$

$$\epsilon_r(f, W) = \frac{\epsilon_\infty}{\epsilon_0} \left(1 + \sqrt{\frac{1}{\pi f \epsilon_\infty \rho_0}}\right)$$



Comparação dos modelos



Modelagem do solo: Porosidade e umidade

Archie

$$\rho(W, \phi) = \sigma^{-1} = \left[\sigma_{dry} + \left(\frac{\sigma_{sat} - \sigma_{dry}}{\phi^2} - \eta \right) W^2 + \eta \phi W \right]^{-1}$$

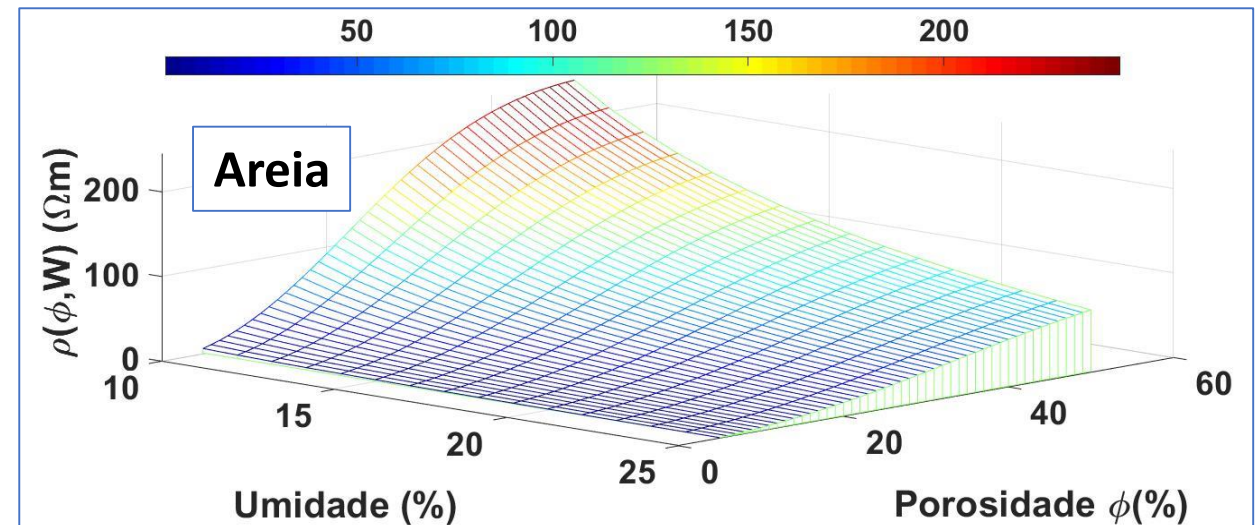
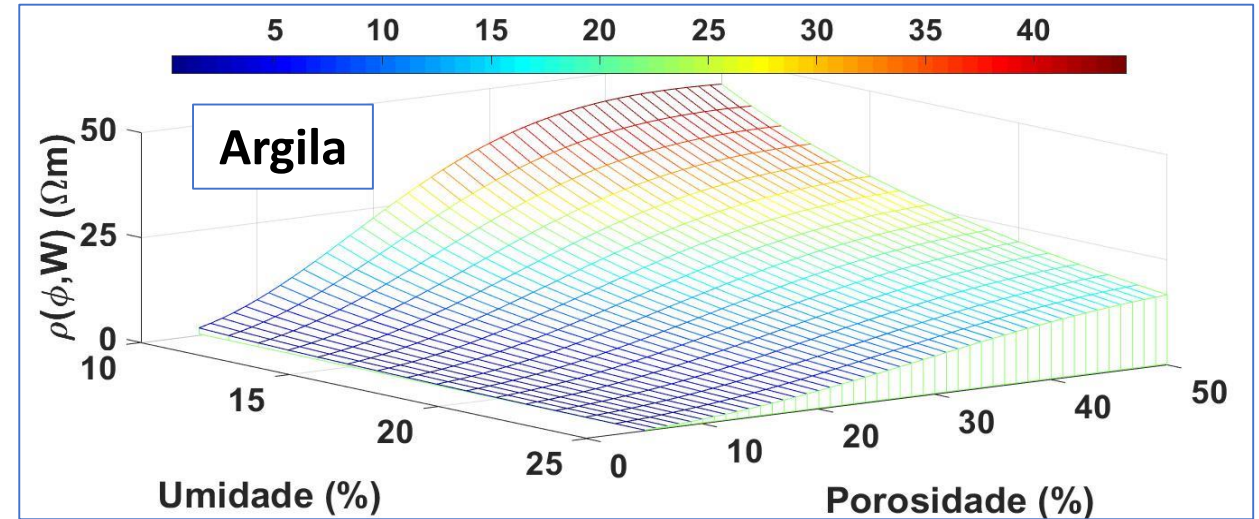
$$\eta = \alpha \frac{f_{clay}}{f_{sand} + f_{silt}} + \beta$$

$$\alpha = 0,654$$

$$\beta = 0,018$$

Dois tipos de solo:

- **Argila:** $\sigma_{sat} = 0,15$, $\sigma_{dry} = 0,005$,
 $f_{clay} = 30$, $f_{sand} = 40$, $f_{silt} = 30$
- **Areia:** $\sigma_{sat} = 0,04$, $\sigma_{dry} = 0,0004$,
 $f_{clay} = 5$, $f_{sand} = 90$, $f_{silt} = 5$

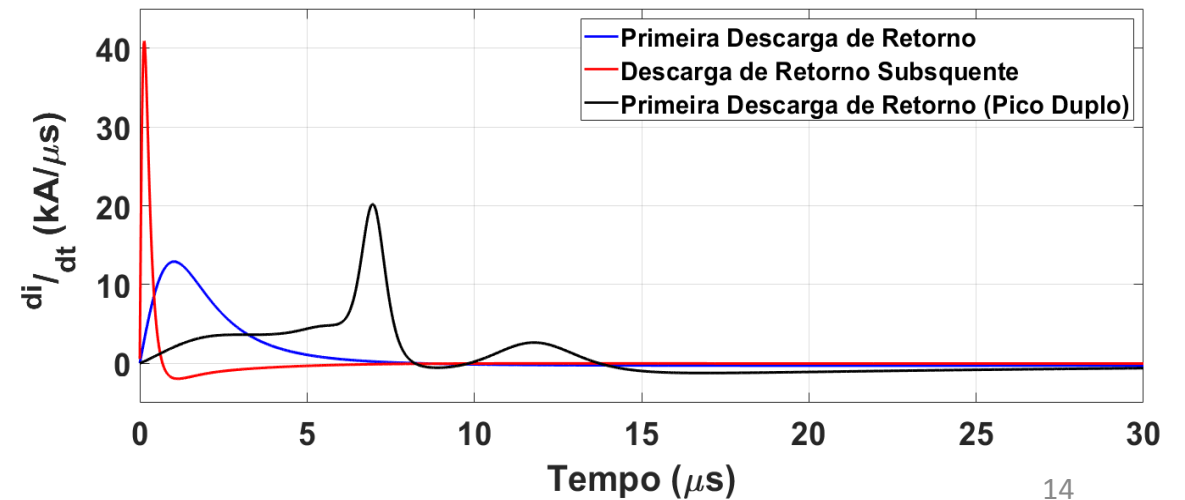
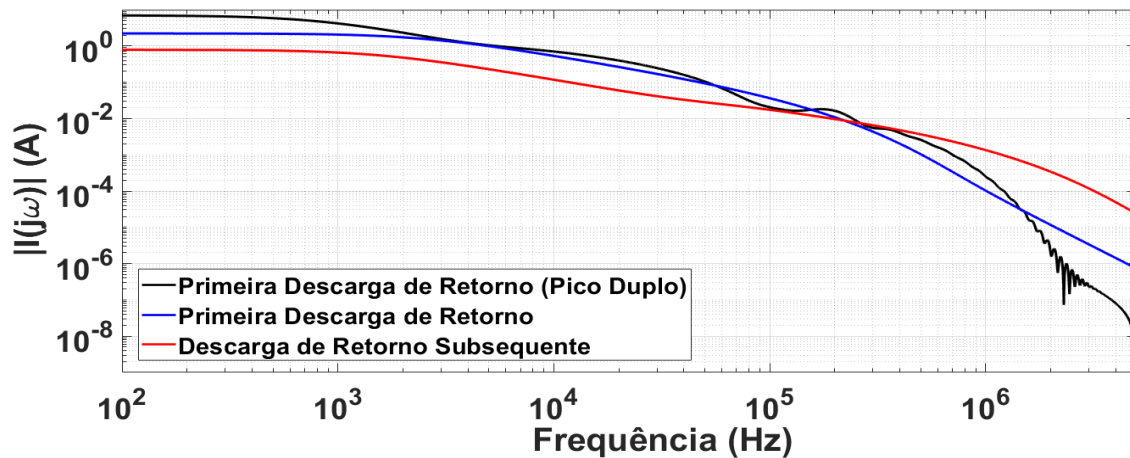
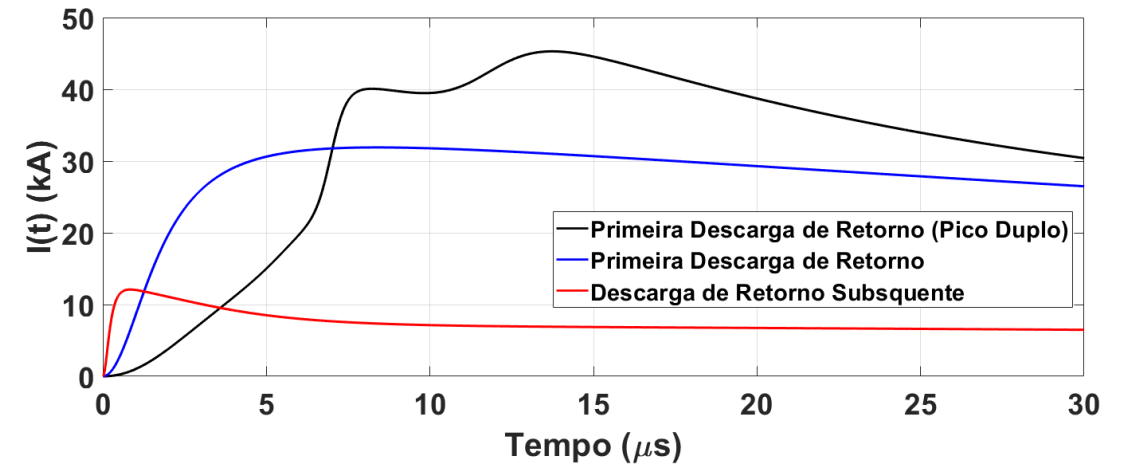


Descargas Atmosféricas

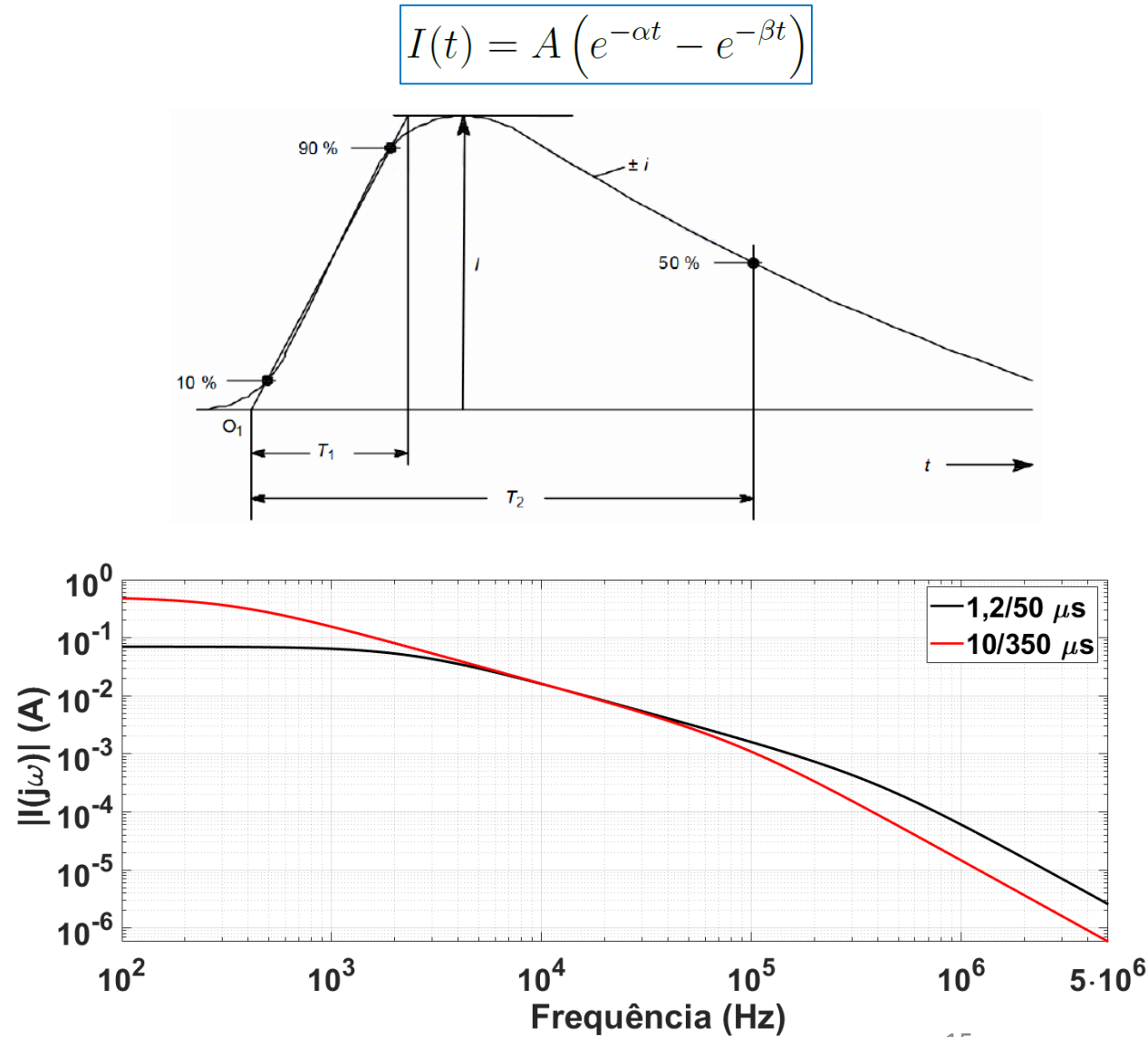
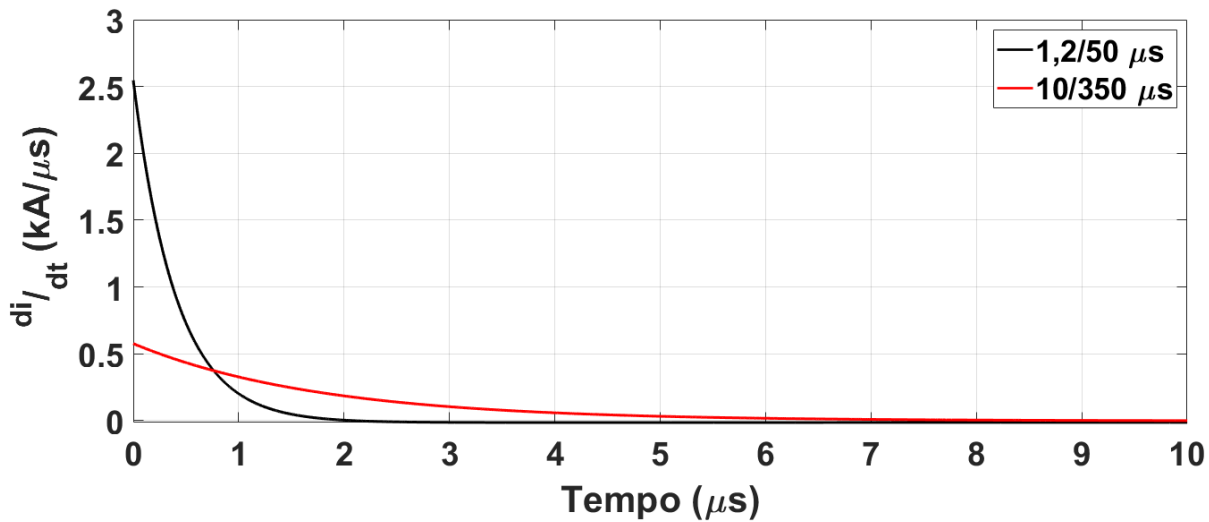
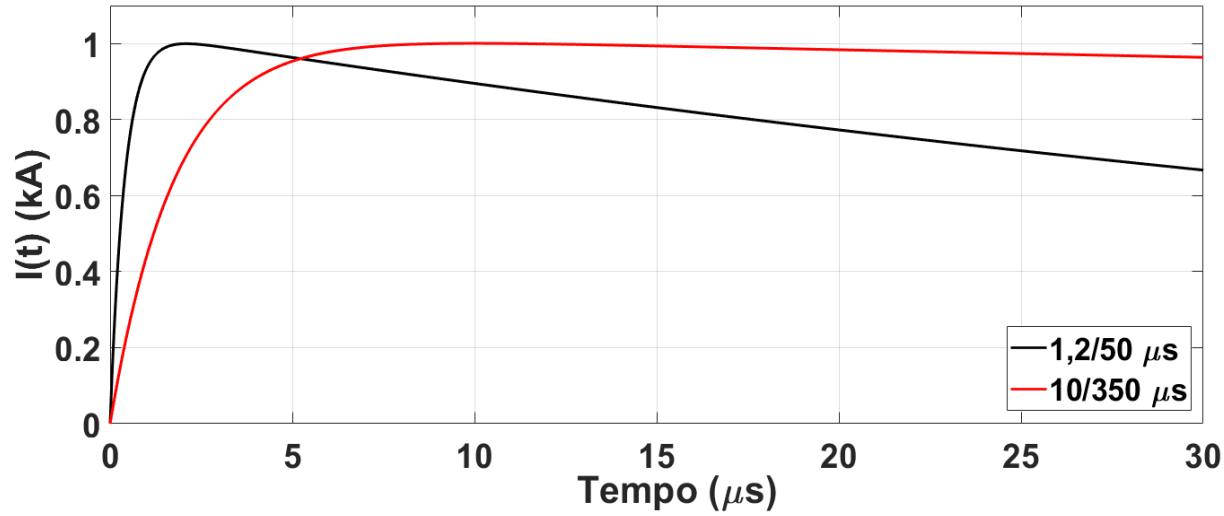


Fonte: <https://www.nssl.noaa.gov/education/svrwx101/lightning/> Acessado: 21/11/2022

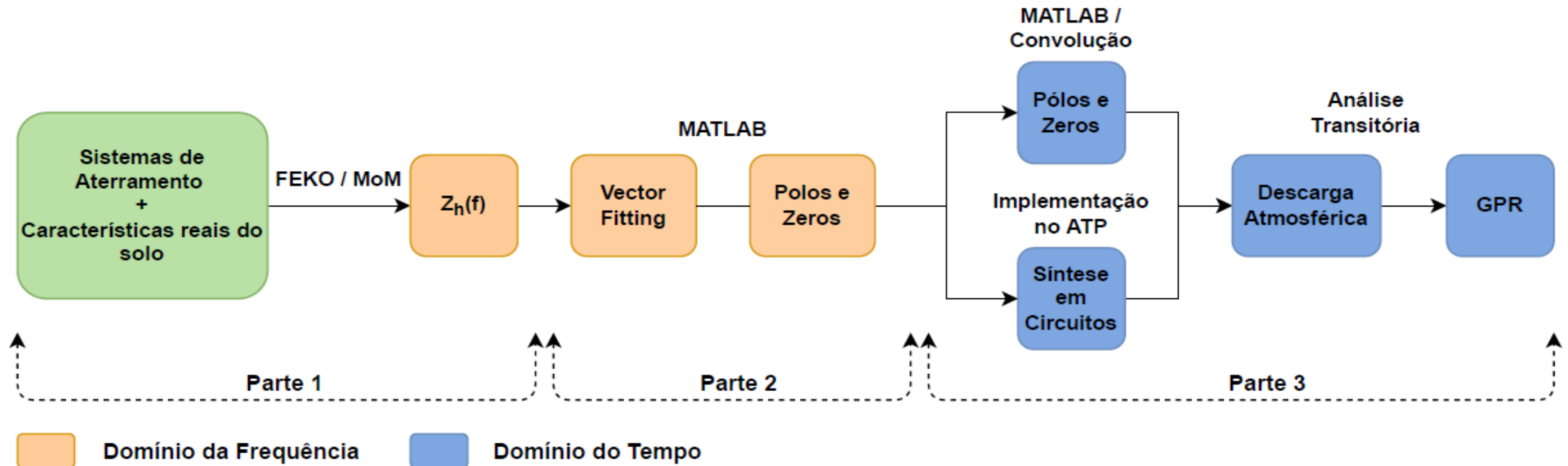
$$I(t) = \sum_{k=1}^i \frac{I_0}{\eta} \exp\left(\frac{-t}{\tau_{2k}}\right) \frac{(t/\tau_{1k})^{n_k}}{1 + (t/\tau_{1k})^{n_k}} \quad \eta = \exp\left[-\left(\frac{\tau_{1k}}{\tau_{2k}}\right) \left(\frac{n_k \tau_{2k}}{\tau_{1k}}\right)^{1/n_k}\right]$$



Descargas Atmosféricas



Metodologia



Parte 1: Cálculo da impedância harmônica Z_h a partir dos parâmetros do solo e da topologia do aterramento, utilizado FEKO®.

Parte 2: Uso do *Vector Fitting* para aproximar Z_h por meio de polos e zeros.

Parte 3: Cálculo do GPR no domínio do tempo por convolução, ou pela representação por circuito elétrico implementado em programas de transitórios eletromagnéticos, ATPDraw®.

Metodologia: FEKO/MoM

Cálculo da impedância harmônica (Z_h)

Equações de Maxwell

$$\vec{E}(\omega) = -\nabla\varphi - j\omega\vec{A} - \epsilon^{-1}\nabla \times \vec{F}$$

$$\vec{H}(\omega) = -\nabla\psi - j\omega\vec{F} - \mu^{-1}\nabla \times \vec{A}$$

$$Z_h(j\omega) = \frac{V_s}{I_{in}(j\omega)}$$

$$V_s = 1\angle 0^\circ$$

Método dos Momentos (MoM)

CADFEKO

Etapa 1

port

PEC

Etapa 4

rod

Etapa 2

μ_0

ϵ_r

ρ

Etapa 3

Dielectric medium properties

Manually define medium

Import medium from file

Derivation method: Frequency independent

Relative permittivity ϵ_r : 1

Conductivity (S/m) σ : 1/200

Plane / ground

Ground medium: Planar multilayer substrate

Layer	Media preview	Ground plane	Thickness	Medium
Layer 0	PEC	Free space	inf	Free space
Layer 1	None	ground1	1	ground1
Layer 2	None	ground2	1	ground2
Layer 3	None	ground3	1	ground3
Layer 4	None	Free space	inf	Free space

Modify wire port (geometry)

Edge: Port1.Wire

Place port on: Segment

Location on wire: Start

Etapa 4

Create mesh

Options: All

Mesh size: Fine

POSTFEKO

Z_h in frequency domain

Etapa 7

Etapa 2

Etapa 3

Etapa 5

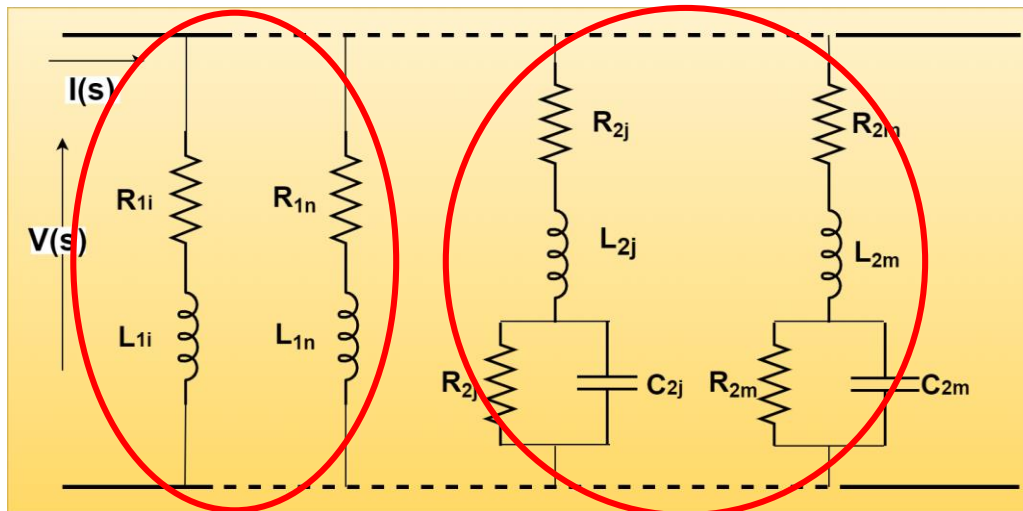
Etapa 6

Metodologia: Cálculo do GPR

Vector Fitting

$$Z_h(s) \approx Z_{fit}(s) = \sum_{k=1}^N \left(\frac{c_k}{s + a_k} \right) + d + bs$$

Representação por circuito



Polos reais

Polos complexos

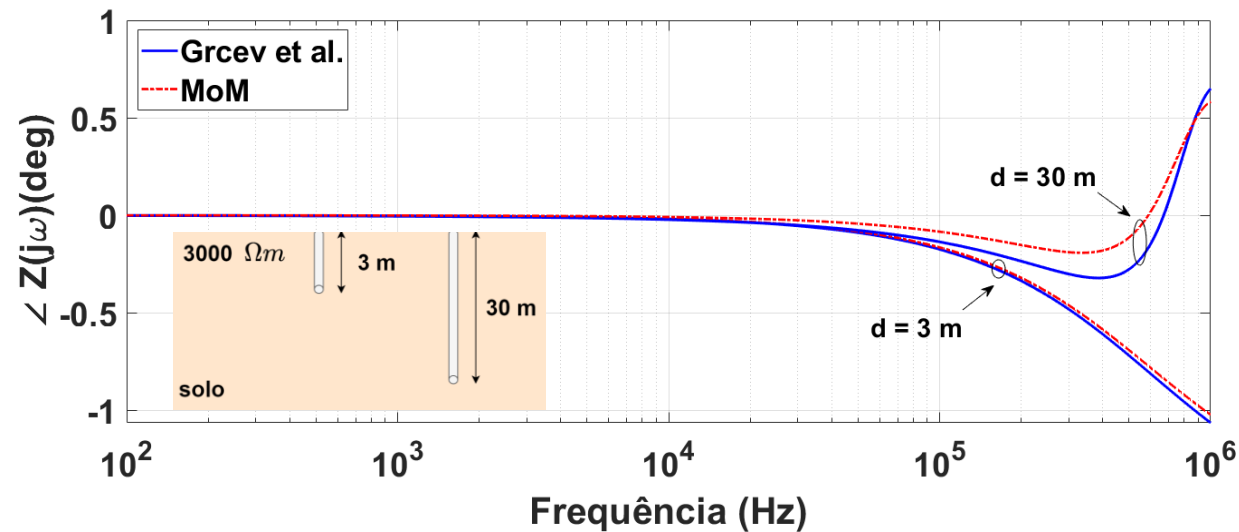
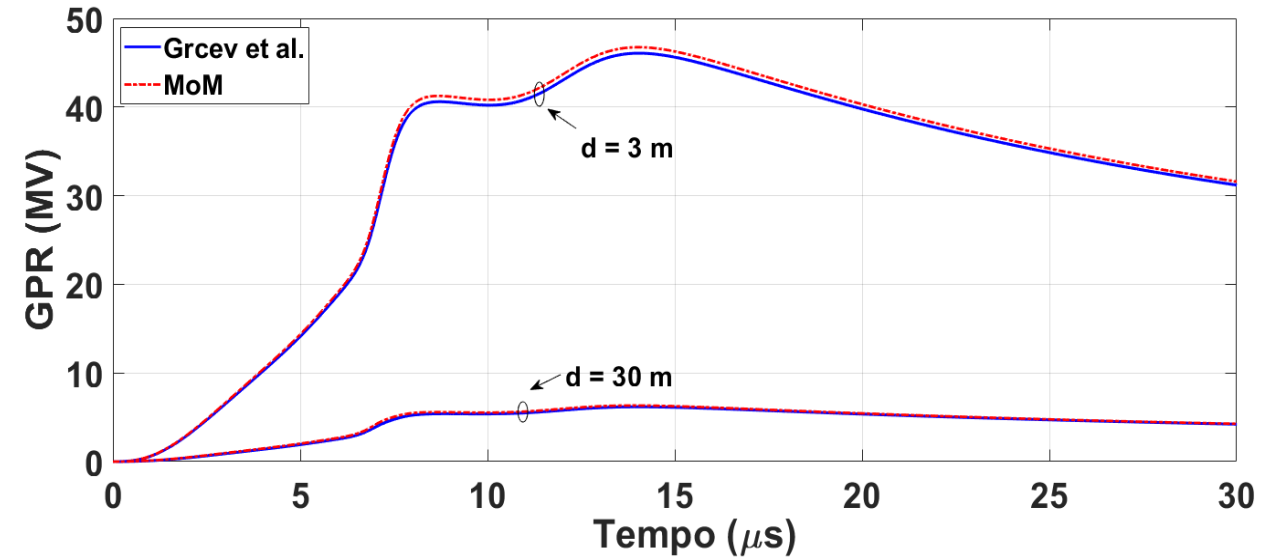
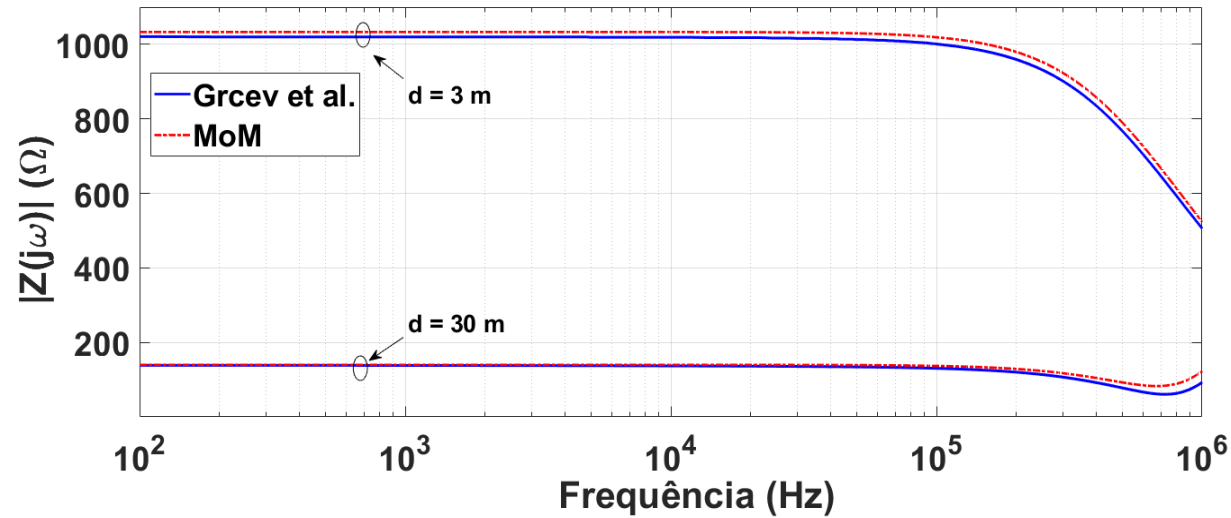
Convolução

Por meio dos pólos (p_k) e resíduos (r_k), pode-se calcular $v(t)$ pelo método recursivo dado por :

$$v(t) = \mathcal{L}^{-1} \{ Z_h(s) \times \mathcal{L} \{ i(t) \} \} = z(t) * i(t)$$

$$v(t) = \alpha v(t - \Delta t) + \beta i(t) + \mu i(t - \Delta t)$$

Validação

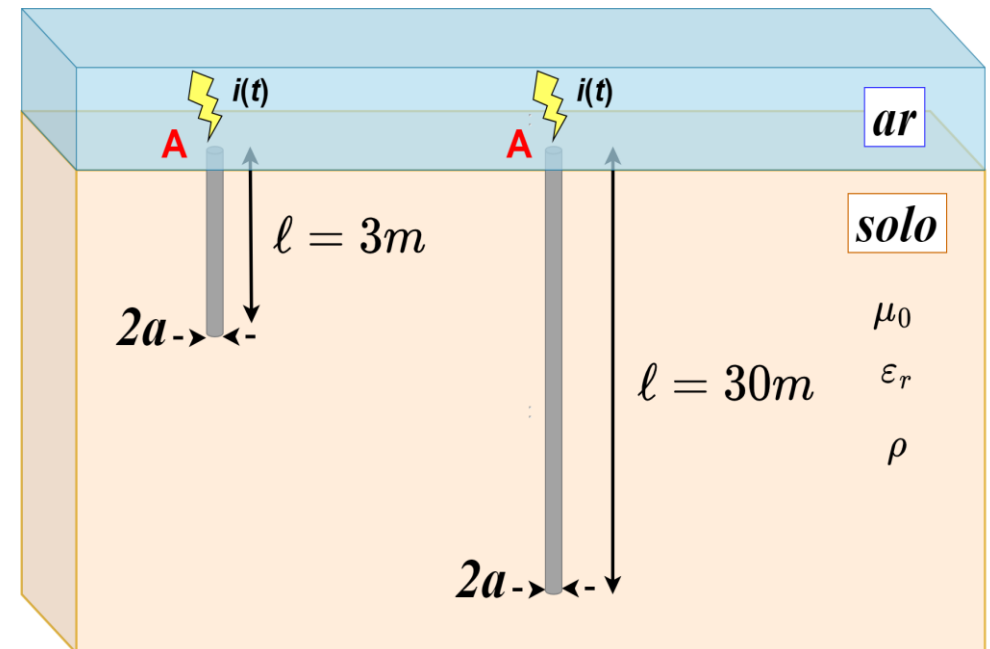


Boa concordância entre as respostas encontradas na literatura e as calculadas pelo MoM/FEKO.

Estudo de Caso

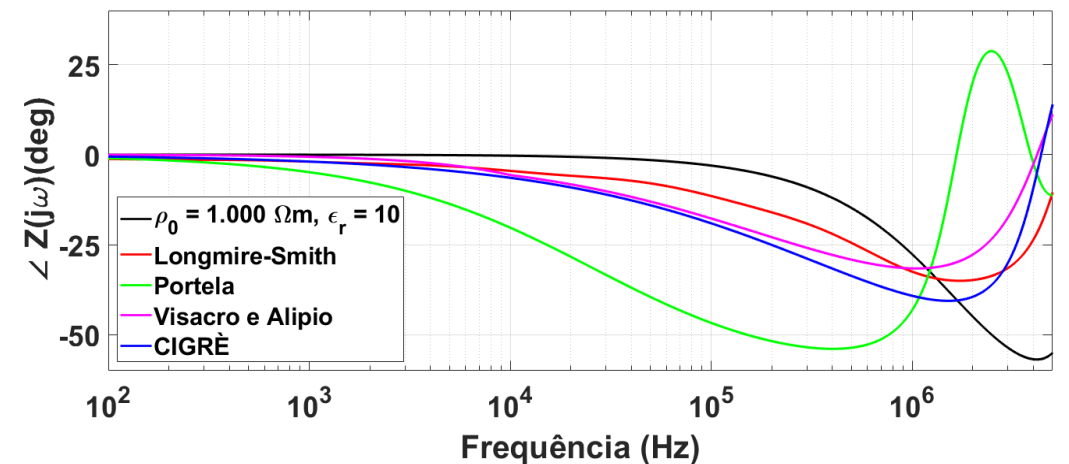
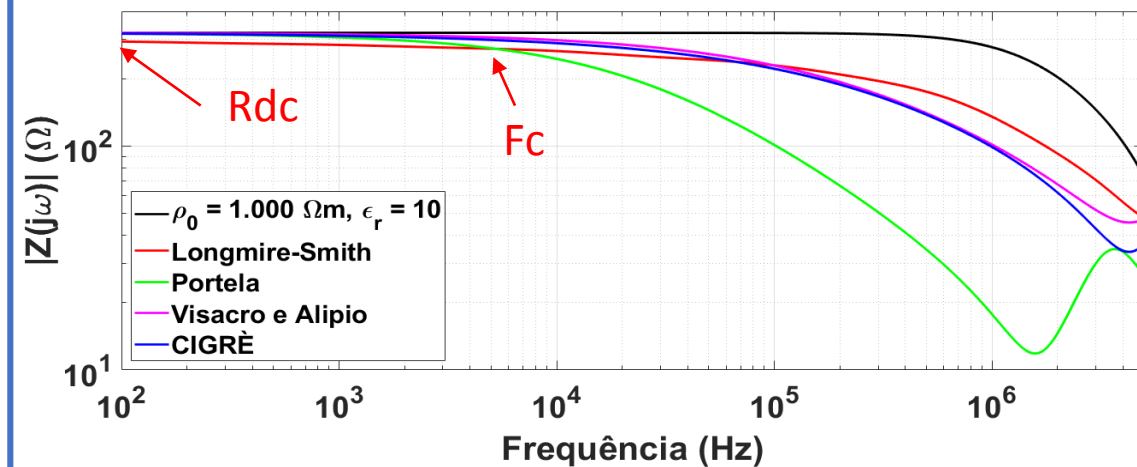
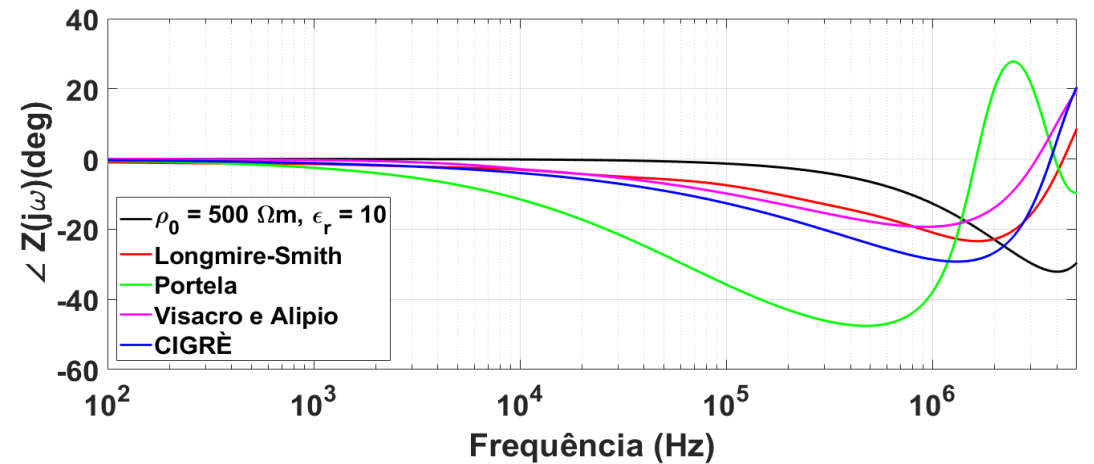
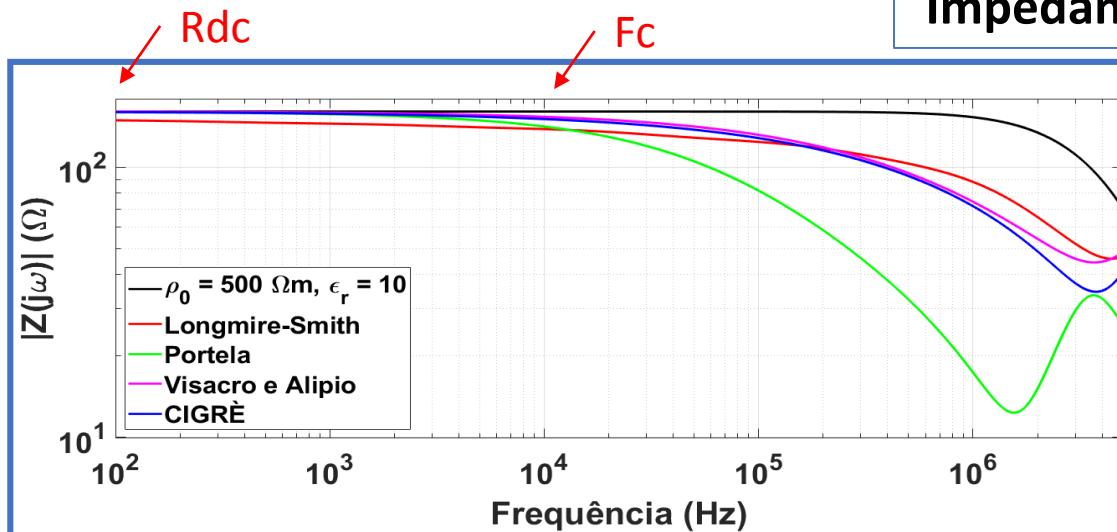
Zh e GPR

- **Modelos de solo**
 - Permissividade relativa para o modelo constante $\epsilon_r = 10$.
 - Homogêneo
 - Permeabilidade do espaço livre igual a $\mu_0 = 4\pi \times 10^{-7} \text{H/m}$.
- **Descarga atmosférica**
 - Primeira descarga de retorno
 - Descarga de retorno subsequente
- **Duas hastes verticais**
 - Comprimento: 3 m e 30 m
 - Raio: 12,5 mm
 - Material: cobre $\rho_{Cu} = 1,724 \cdot 10^{-8} \Omega\text{m}$



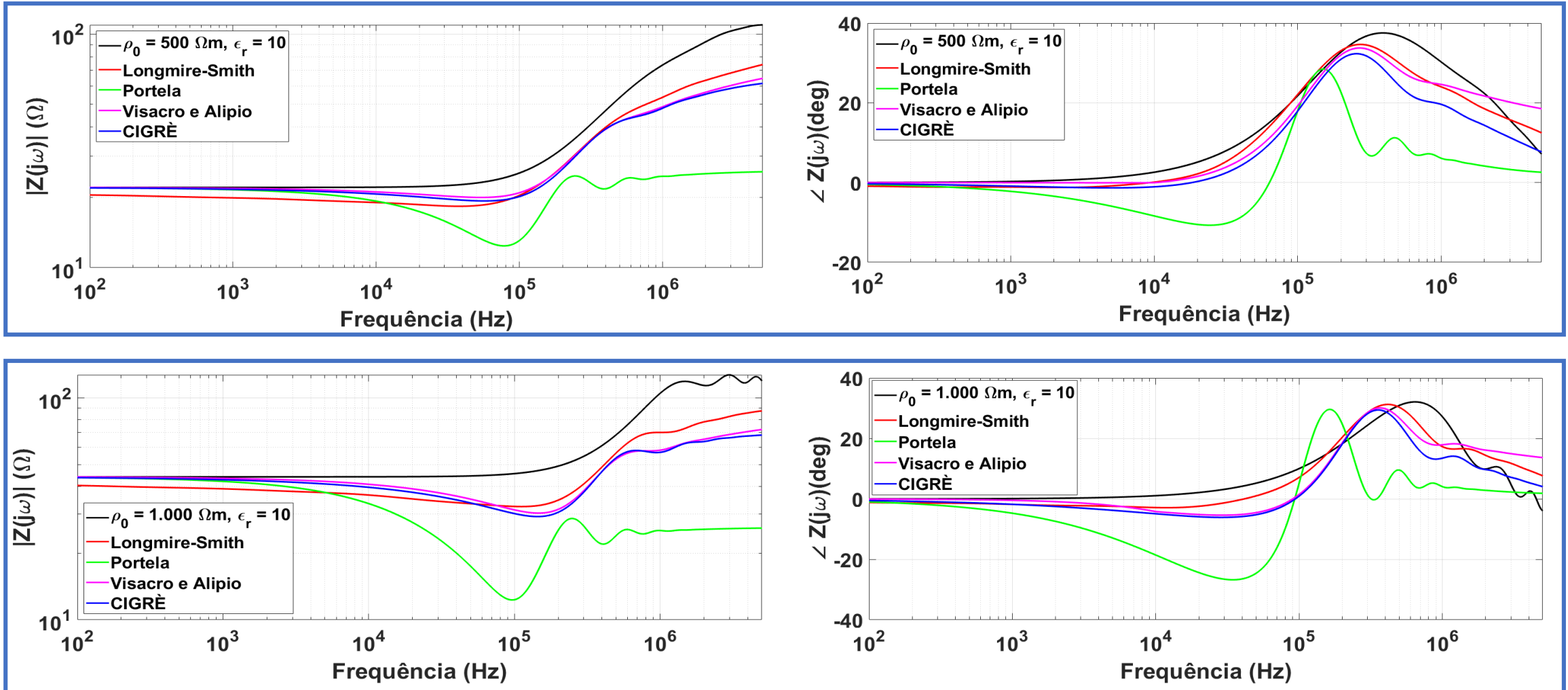
Estudo de Caso: Frequência

Impedância (Zh) - 3 m



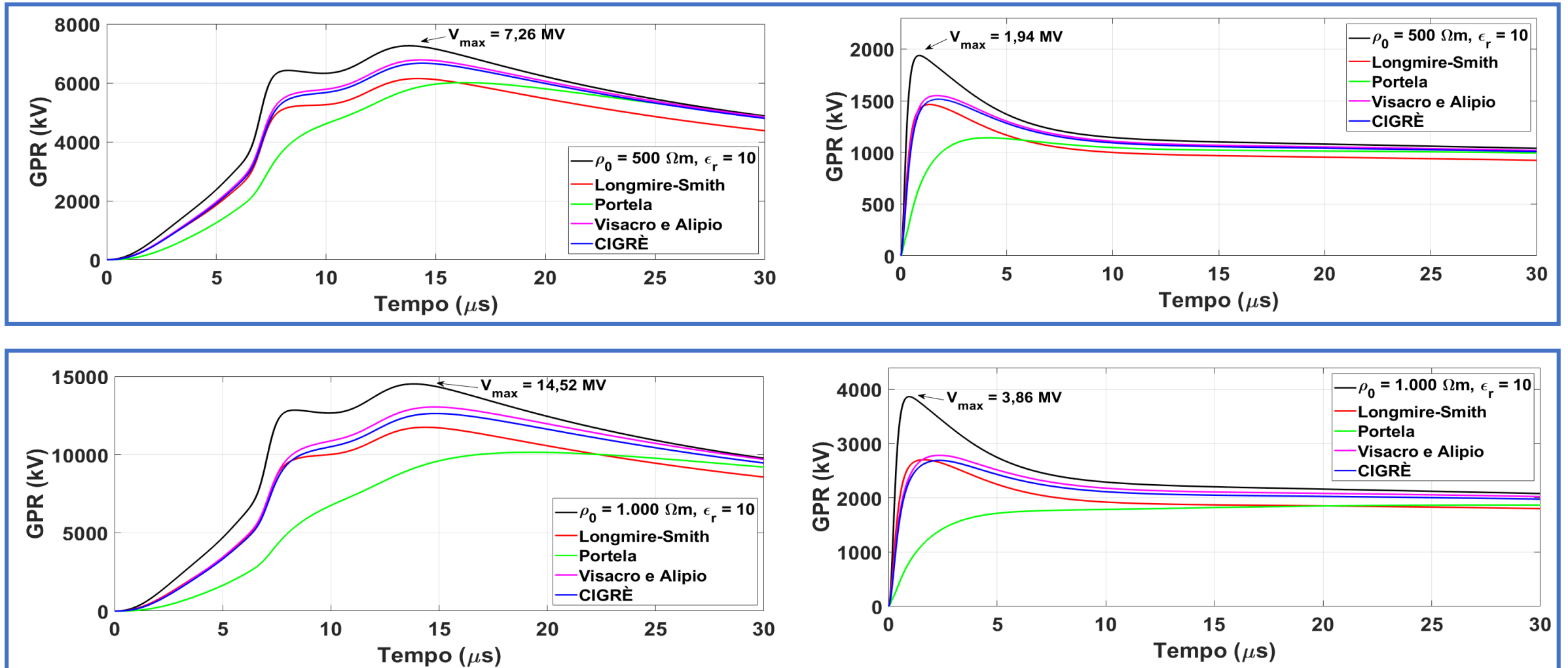
Estudo de Caso: Frequência

Impedância (Zh) - 30 m



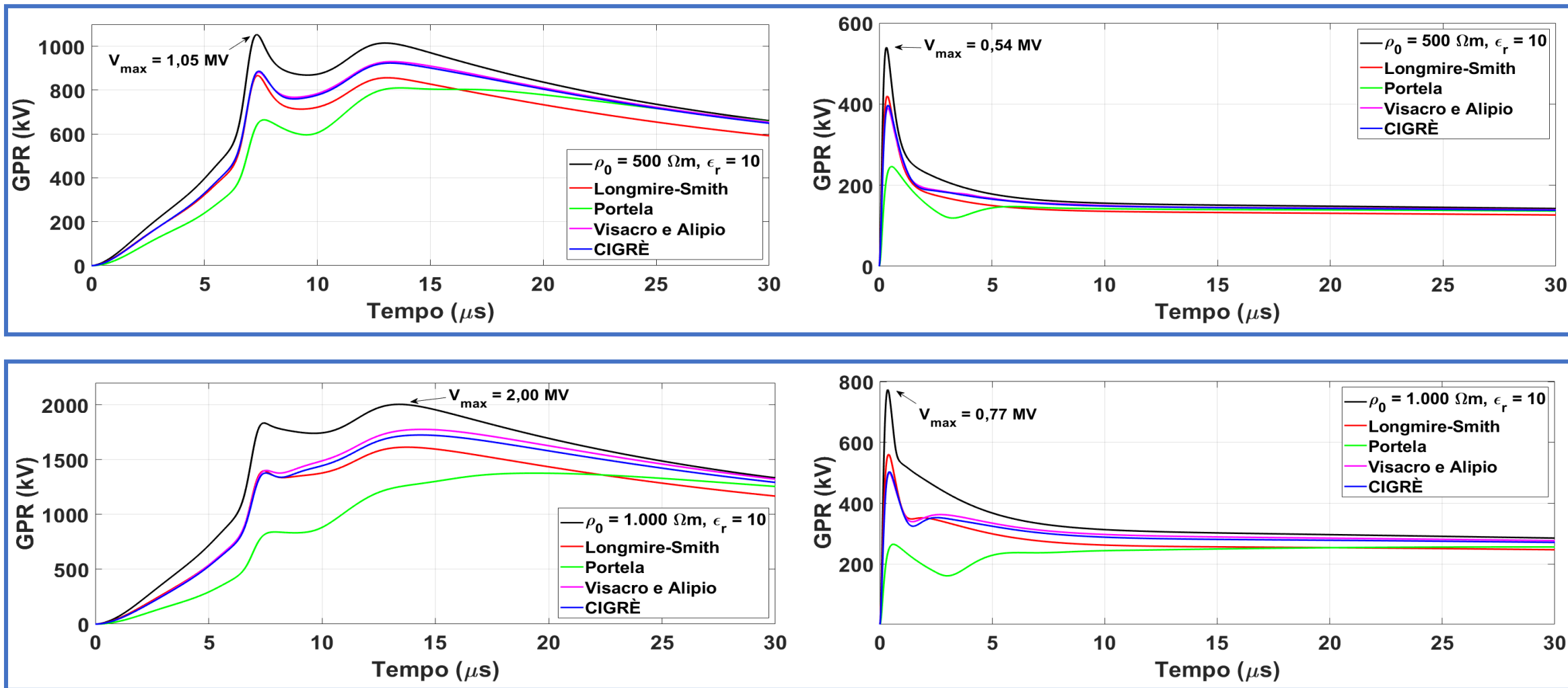
Estudo de Caso: Frequência

GPR - 3 m



Estudo de Caso: Frequência

GPR - 30 m



Estudo de Caso: Frequência

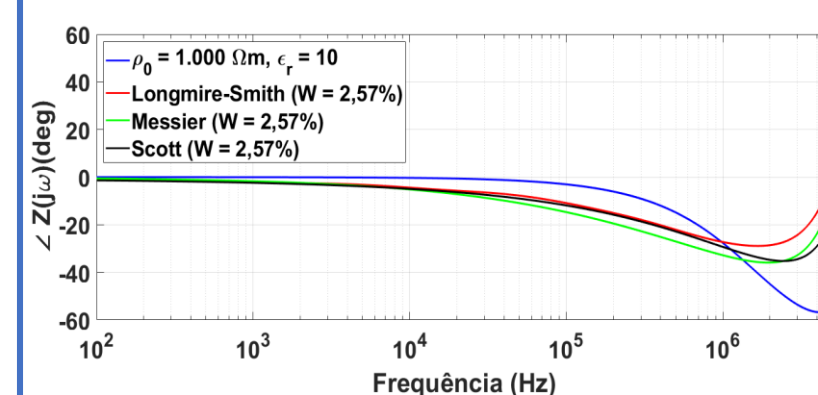
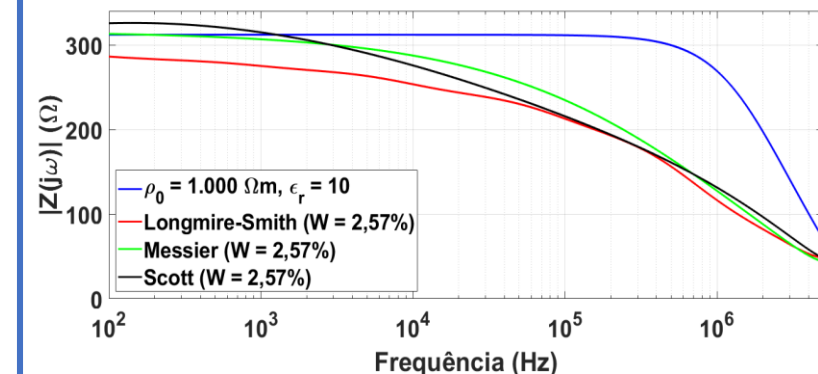
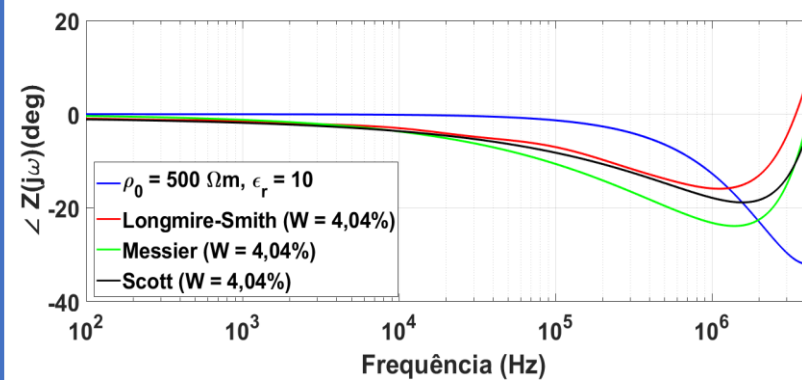
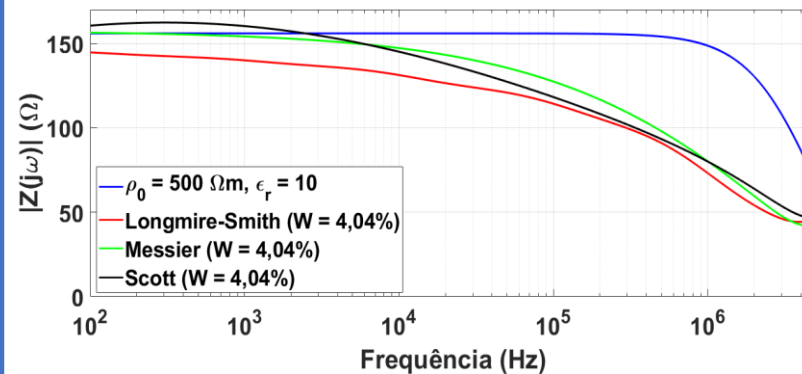
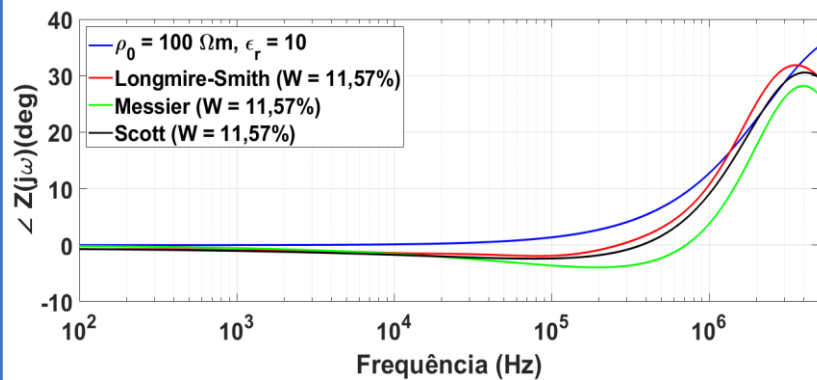
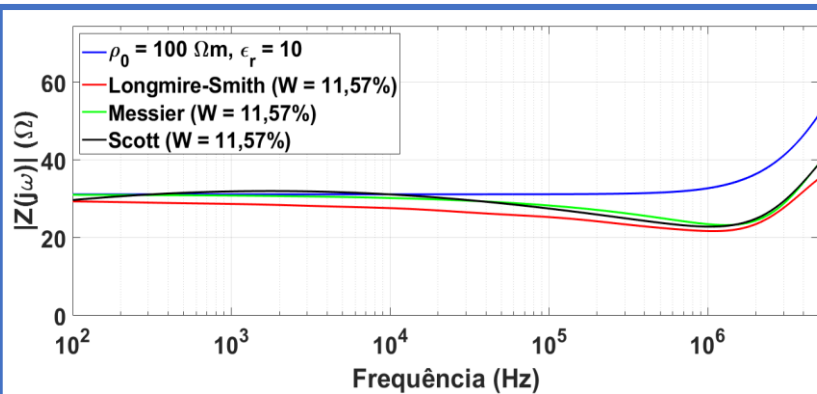
$$\delta(\%) = \frac{V_{max}^{const} - V_{max}^{FD}}{V_{max}^{const}} \times 100\%$$

- Modelos mais resistivos apresentaram maior δ
- Modelo de Portela possui o maior δ em comparação aos demais modelos
- δ é mais pronunciado para a descarga de retorno subsequente do que para primeira descarga pico-duplo

Primeira descarga de retorno						
ℓ	ρ_0	Const.	LS	P	VA	C
3 m	500	7,26 (0)	6,15 (15)	6,01 (17)	6,78 (7)	6,66 (8)
	1.000	14,52 (0)	11,75 (19)	10,15 (30)	13,04 (10)	12,62 (13)
30 m	500	1,05 (0)	0,87 (17)	0,81 (23)	0,93 (11)	0,92 (12)
	1.000	2,00 (0)	1,61 (20)	1,38 (31)	1,77 (12)	1,72 (14)
Descarga de retorno subsequente						
ℓ	ρ_0	Const.	LS	P	VA	C
3 m	500	1,94 (0)	1,46 (25)	1,14 (41)	1,55 (20)	1,51 (22)
	1.000	3,86 (0)	2,70 (30)	1,87 (52)	2,78 (28)	2,69 (30)
30 m	500	0,54 (0)	0,42 (22)	0,25 (54)	0,39 (28)	0,40 (26)
	1.000	0,77 (0)	0,56 (27)	0,27 (65)	0,50 (35)	0,50 (35)

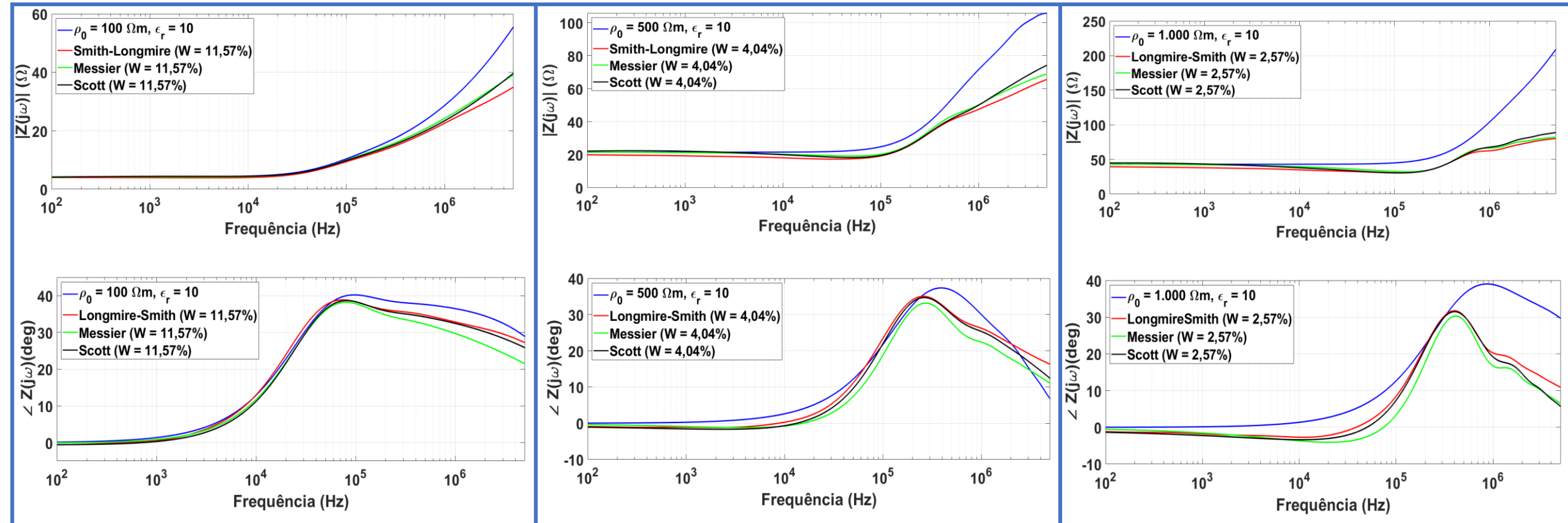
Estudo de Caso: Frequência e umidade

Impedância (Zh) - 3 m



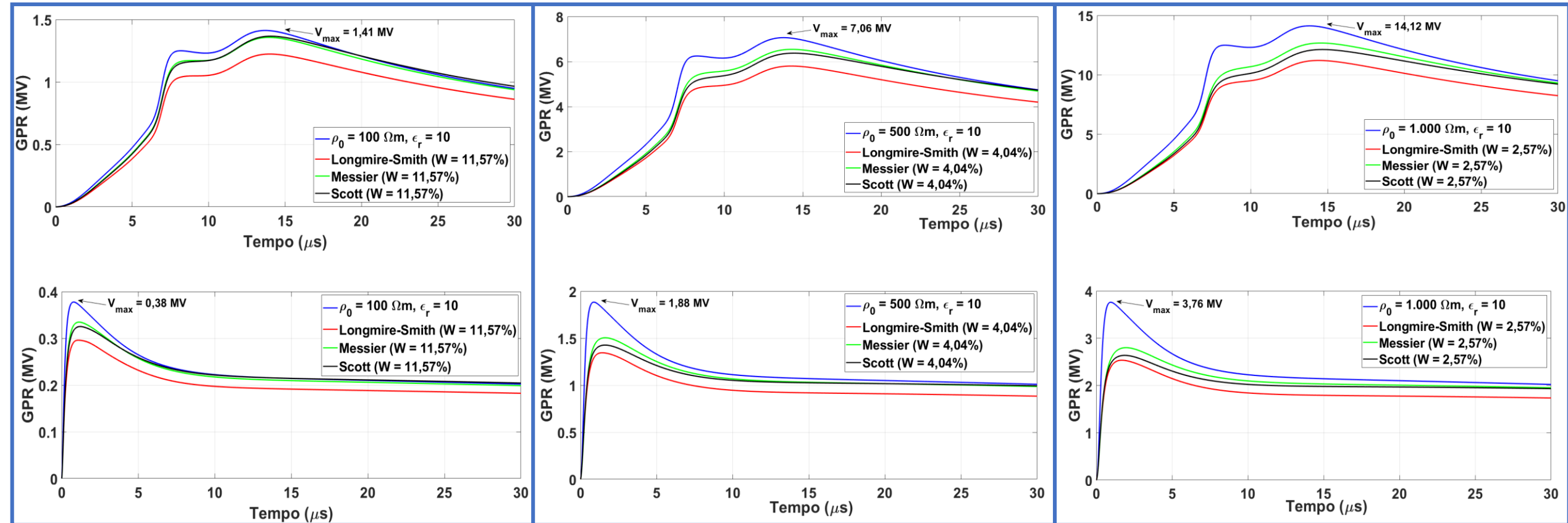
Estudo de Caso: Frequência e umidade

Impedância (Z_h) - 30 m



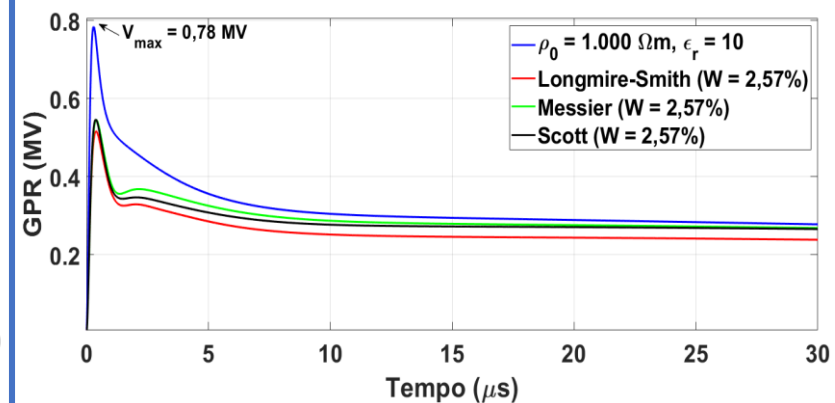
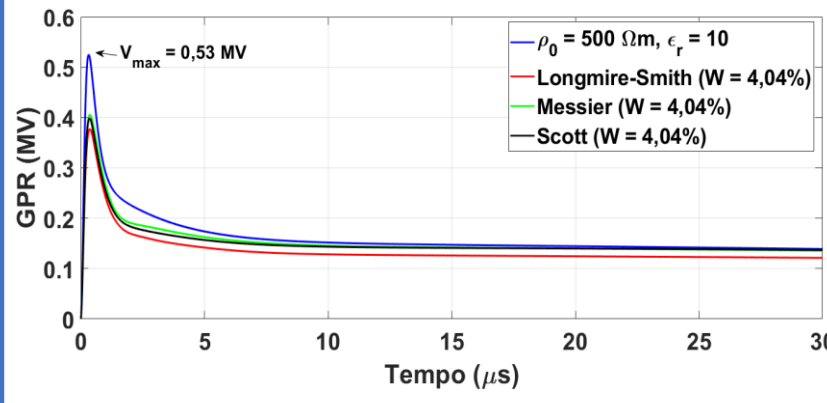
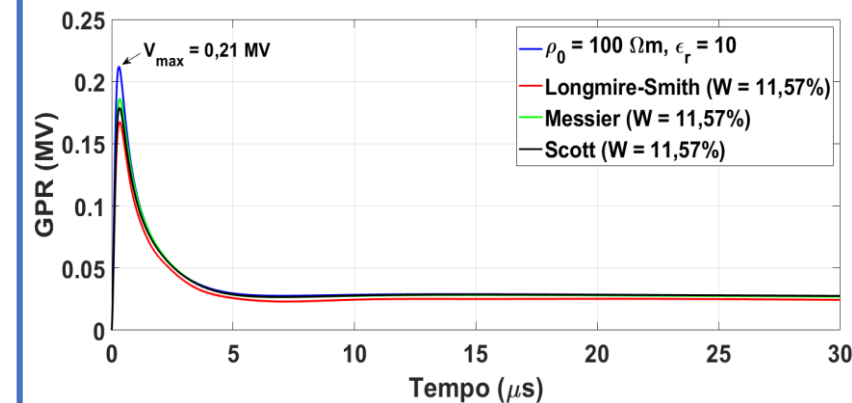
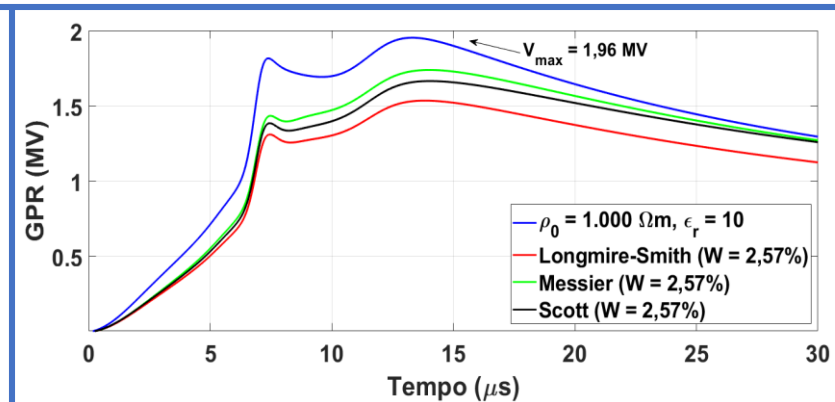
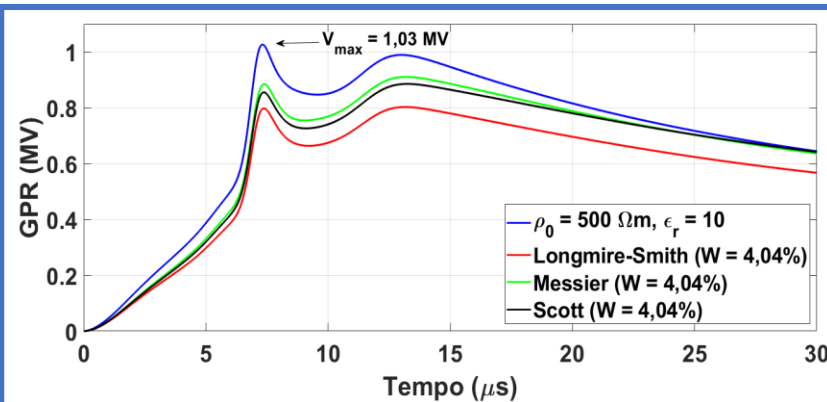
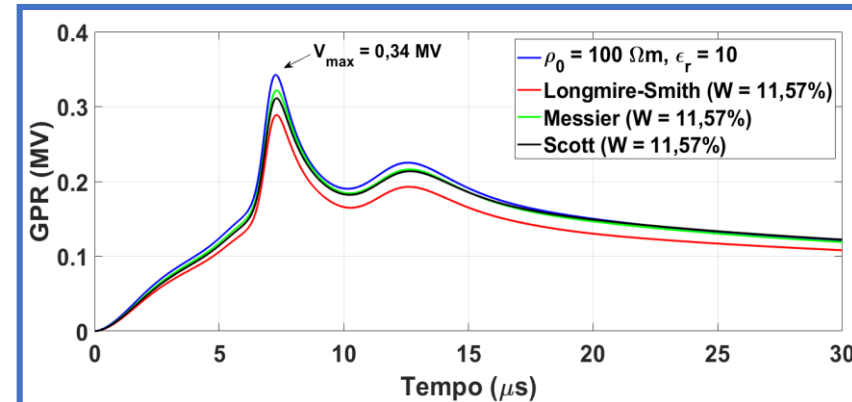
Estudo de Caso: Frequência e umidade

GPR - 3 m



Estudo de Caso: Frequência e umidade

GPR - 30 m



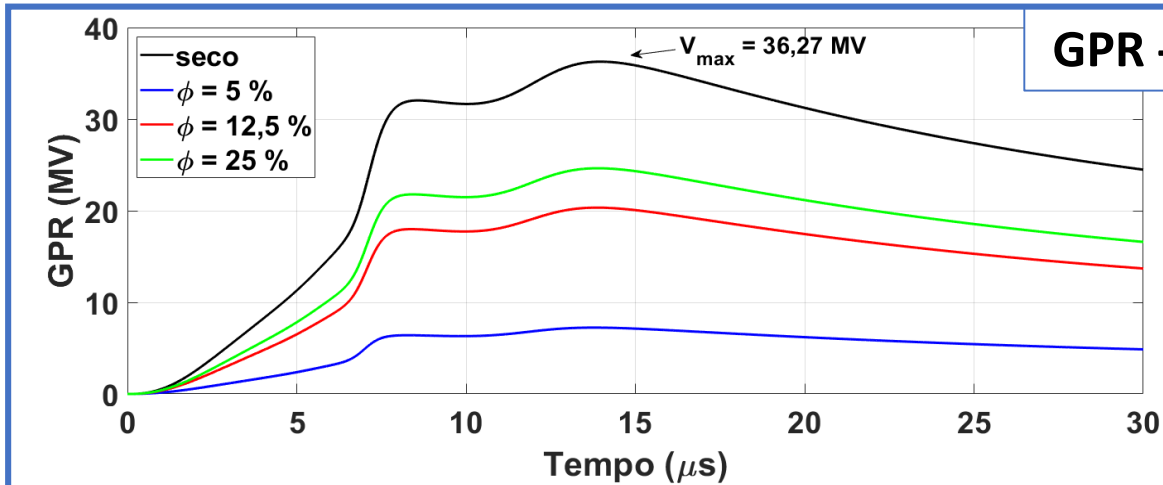
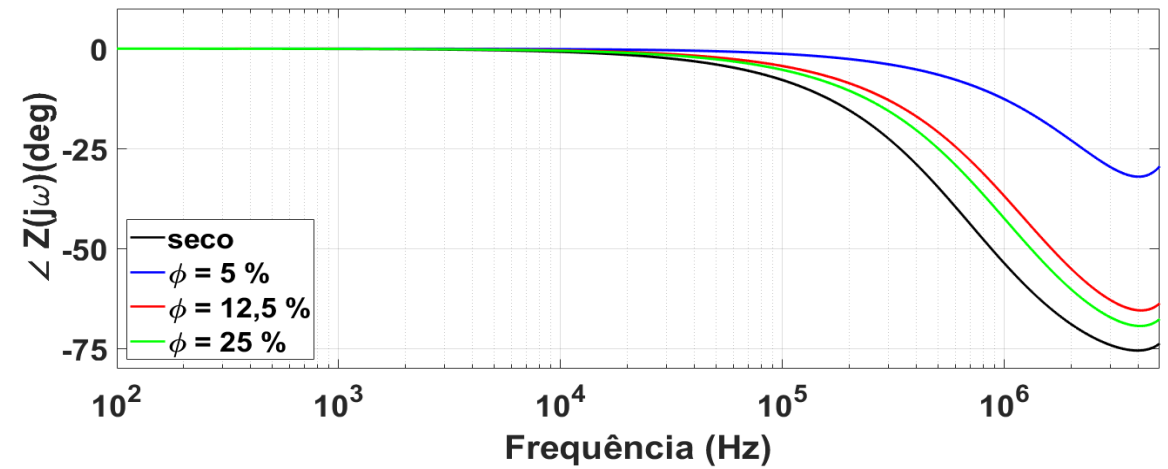
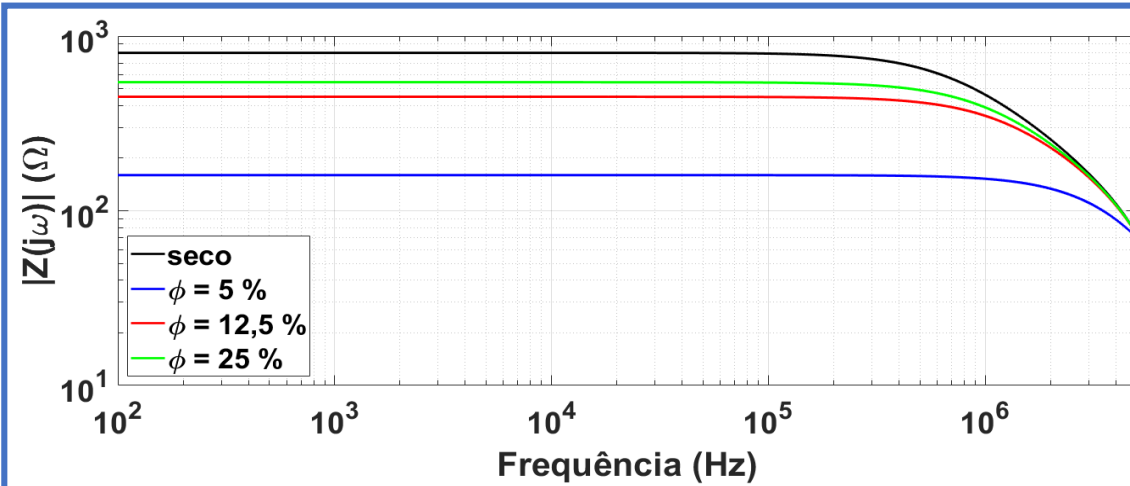
Estudo de Caso: Frequência e umidade

- Solos com baixa umidade (mais resistivo) apresentaram maior variação em relação ao modelo Rdc e Const.
- Descarga subsequente possui variação maior do que a primeira descarga de retorno (maior espectro).
- LS é o modelo que possui diferença maior em relação ao Const.

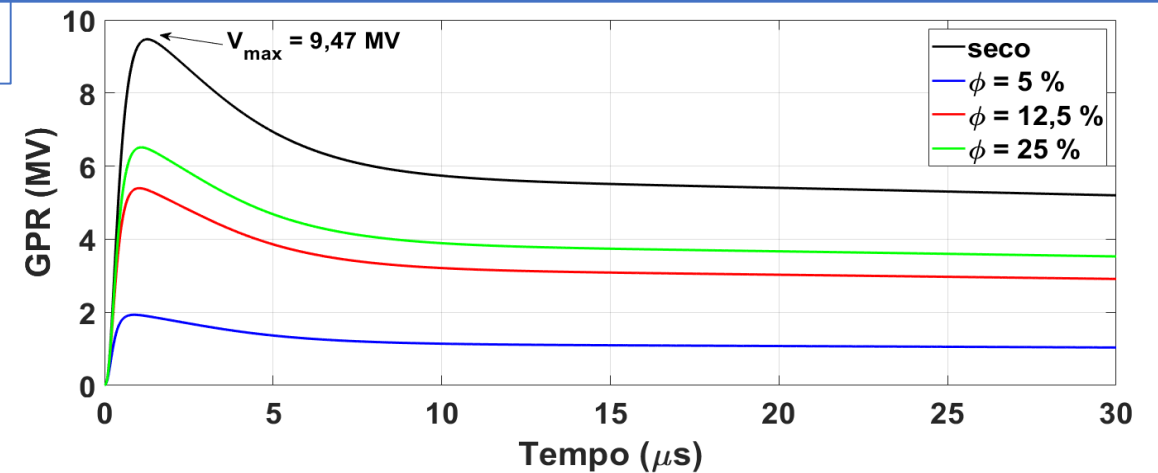
		Primeira descarga de retorno				
ℓ	Const.	W(%)	LS	M	S	
3 m	14,12 (0)	2,57	11,21 (21)	12,68 (10)	12,13 (14)	
	7,06 (0)	4,04	5,80 (18)	6,54 (7)	6,37 (10)	
	1,41 (0)	11,57	1,22 (13)	1,36 (4)	1,37 (3)	
30 m	1,96 (0)	2,57	1,54 (21)	1,74 (11)	1,67 (15)	
	1,03 (0)	4,04	0,80 (22)	0,91 (11)	0,86 (14)	
	0,34 (0)	11,57	0,29 (16)	0,32 (6)	0,31 (9)	
		Descarga de retorno subsequente				
ℓ	Const.	W(%)	LS	M	S	
3 m	3,76 (0)	2,57	2,53 (33)	2,80 (26)	2,64 (30)	
	1,88 (0)	4,04	1,34 (29)	1,51 (20)	1,43 (24)	
	0,38 (0)	11,57	0,30 (22)	0,34 (11)	0,33 (14)	
30 m	0,78 (0)	2,57	0,52 (34)	0,55 (30)	0,55 (30)	
	0,53 (0)	4,04	0,38 (28)	0,41 (23)	0,40 (24)	
	0,21 (0)	11,57	0,17 (21)	0,19 (19)	0,18 (16)	

Estudo de Caso: Porosidade e umidade

Impedância (Z_h) - 3 m

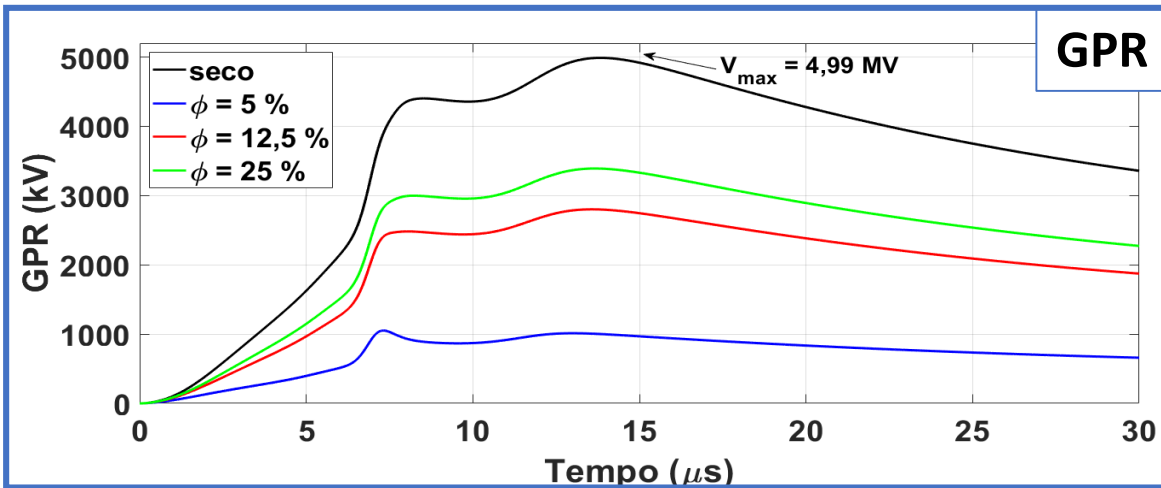
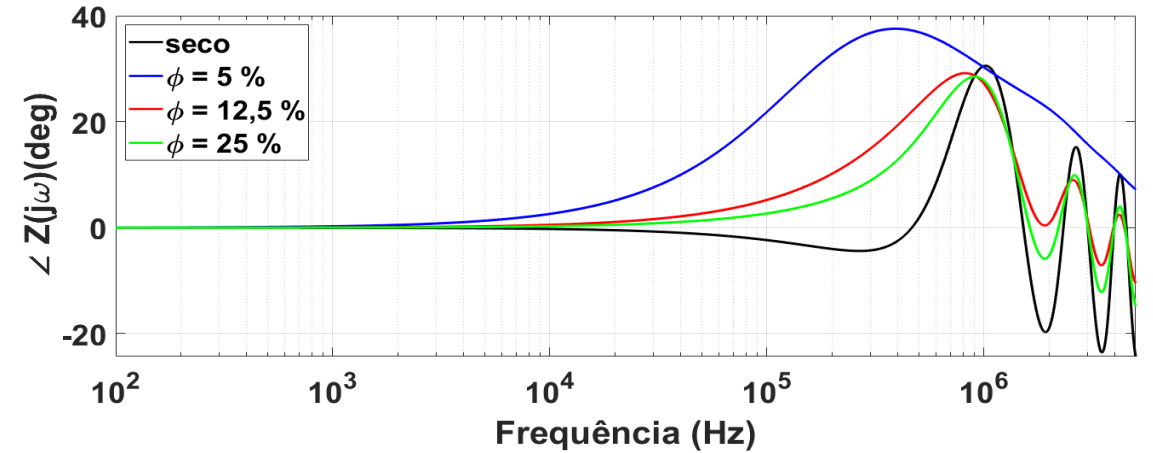
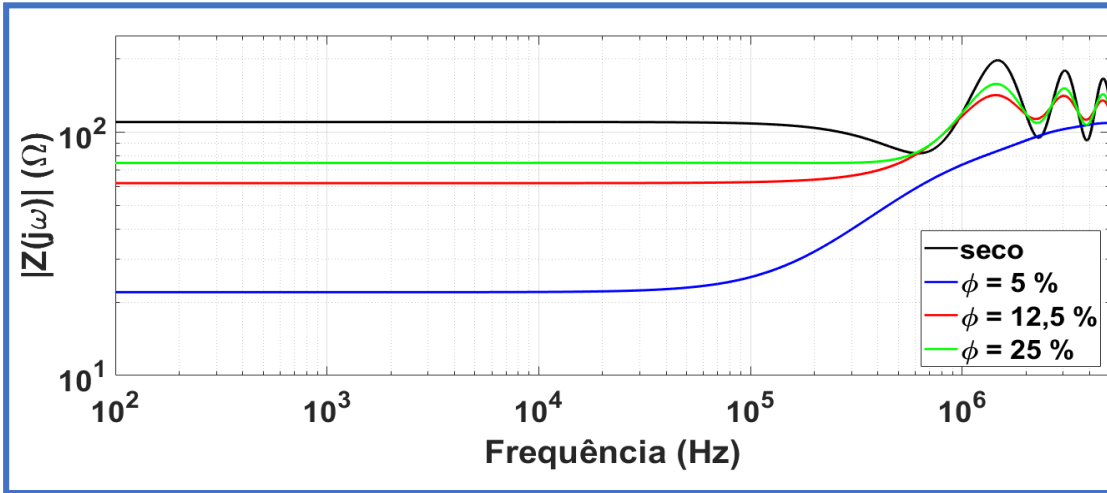


GPR - 3 m

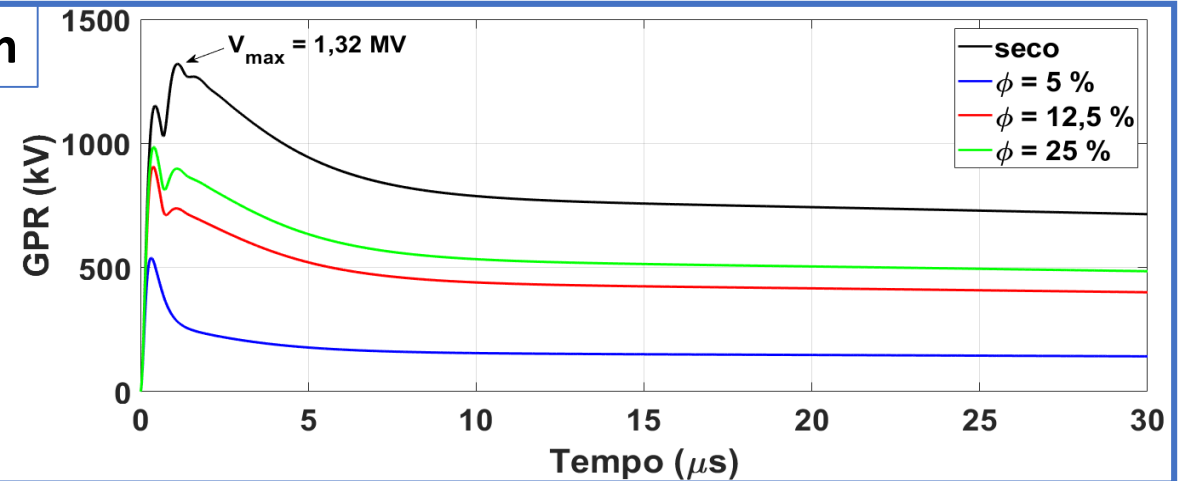


Estudo de Caso: Porosidade e umidade

Impedância (Z_h) - 30 m



GPR - 30 m



Estudo de Caso: Porosidade e umidade

- Maior teor de umidade leva à menores impedâncias e GPRS
- Baixo teor de porosidade apresentou maior variação em relação ao modelo de solo seco

	Primeira descarga de retorno			
l	Seco	$\phi = 25\%$	$\phi = 12,5\%$	$\phi = 5\%$
3 m	36,27	24,64 (32%)	20,34 (44%)	7,24 (80%)
30 m	4,99	3,39 (32%)	2,80 (44%)	1,05 (79%)
	Descarga de retorno subsequente			
l	Seco	$\phi = 25\%$	$\phi = 12,5\%$	$\phi = 5\%$
3 m	9,47	6,51 (31%)	5,40 (43%)	1,93 (80%)
30 m	1,32	0,99 (25%)	0,91 (31%)	0,54 (59%)

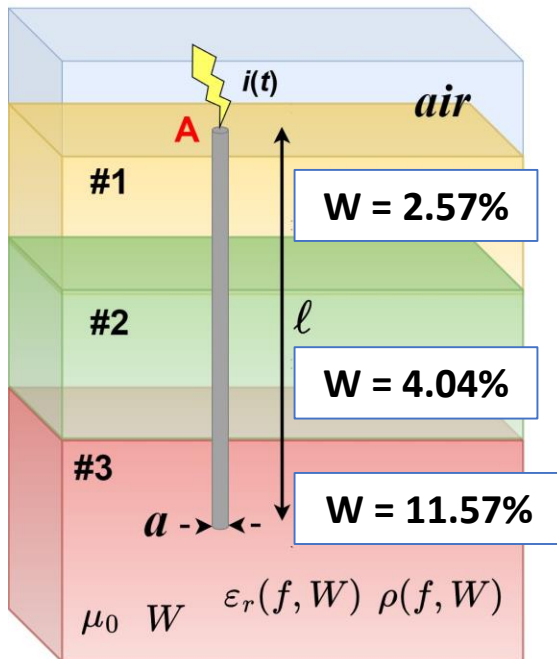
Conclusões: Impedância Harmônica

- A impedância das hastes verticais apresentaram um comportamento resistivo nas baixas frequências (entre 100 Hz até a frequência característica).
- Acima dessa frequência, a magnitude da impedância do SA é alterada de modo significativo, devido à parte reativa ser mais pronunciada sendo indutiva ou capacitiva dependendo do intervalo de frequência, parâmetros do solo e parâmetros geométricos do eletrodo.
- A resistência estática é reduzida com o aumento do teor de umidade, porém ela aumenta com o aumento da porcentagem de porosidade.

Conclusões: GPR

- Os GPR obtidos para parâmetros constantes apresentam valor de pico superior aos calculados com os variáveis com as propriedades físicas (efeito da frequência, teor de umidade, porosidade).
- Portela, Longmire-Smith apresentaram uma maior variação δ em relação aos demais modelos.
- Solos mais resistivos resultaram em picos de GPR e δ maiores.
- Os resultados para a descarga subsequente tiveram uma maior variação percentual em relação ao modelo constante do que a variação encontrada para a primeira descarga de retorno, devido ao seu maior espectro de frequência.

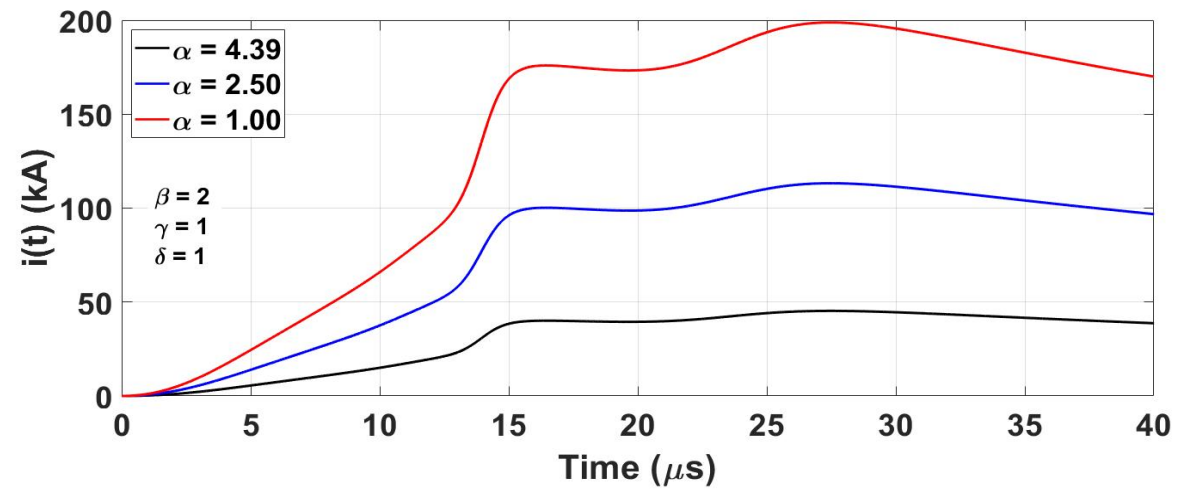
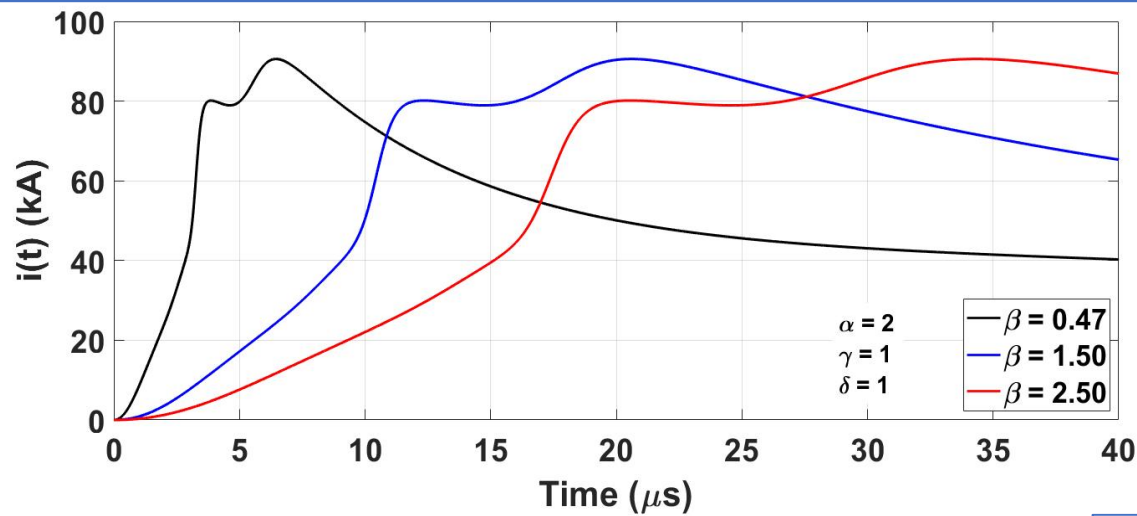
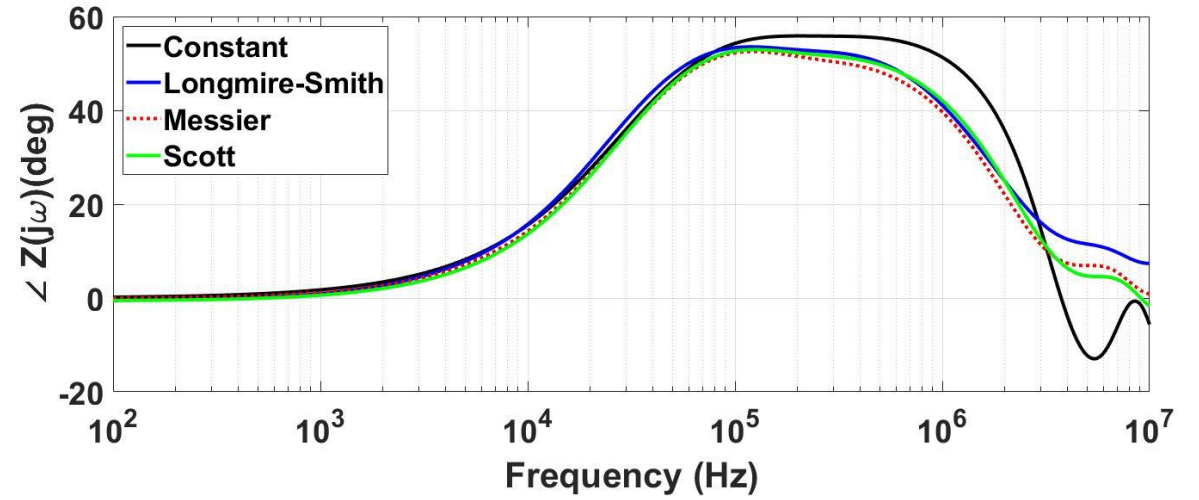
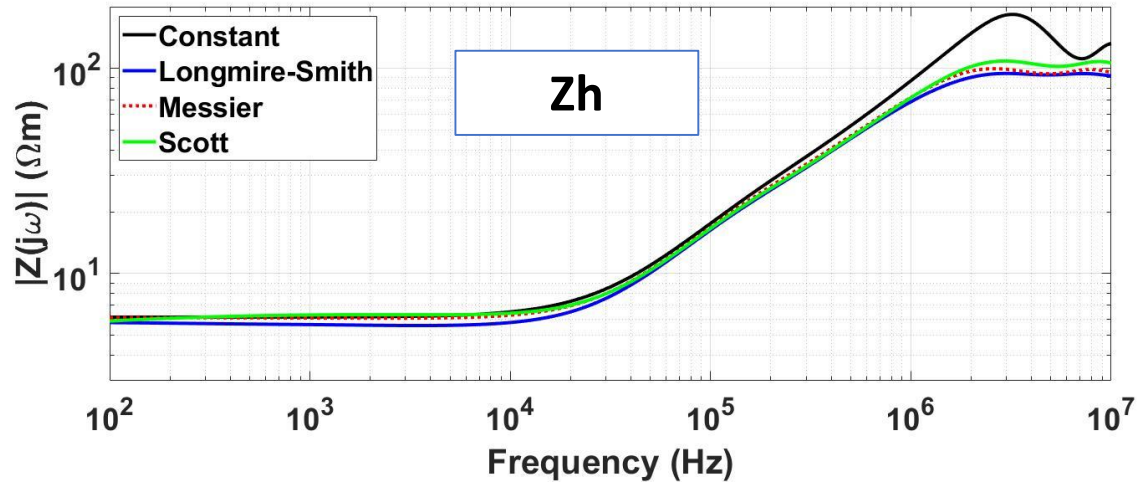
Estudo de Caso: Torres Transmissão



(a)

I - 30 m

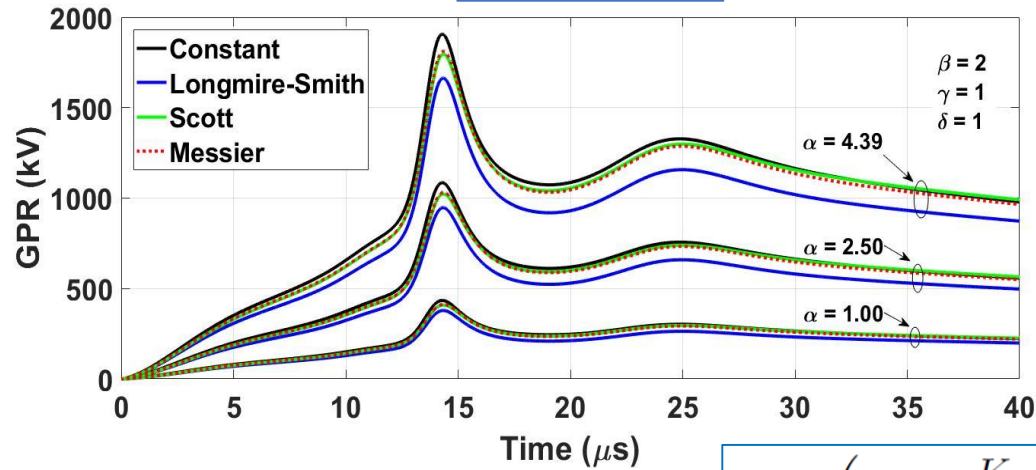
Estudo de Caso



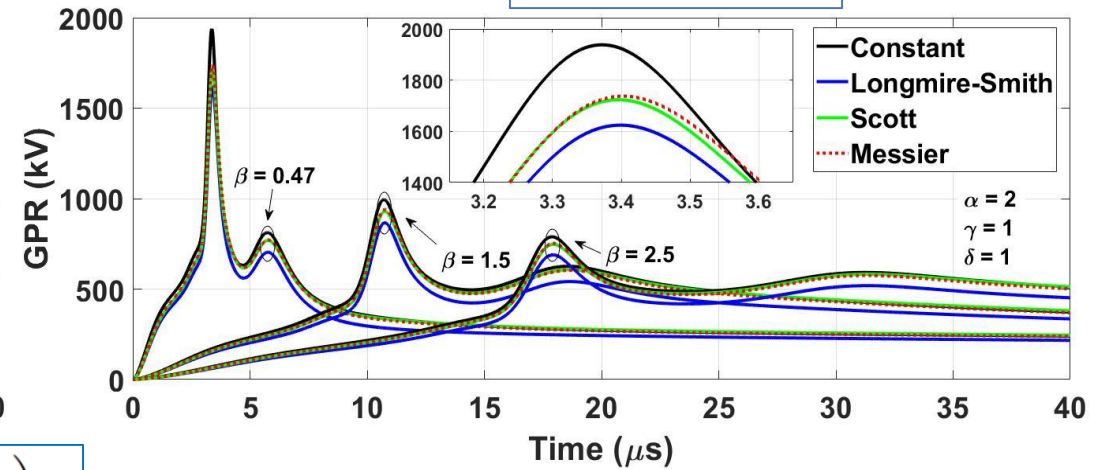
Correntes

Estudo de Caso

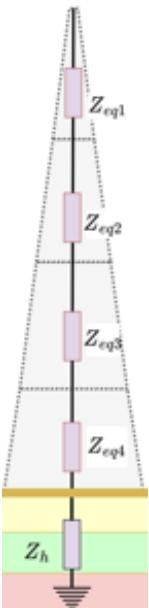
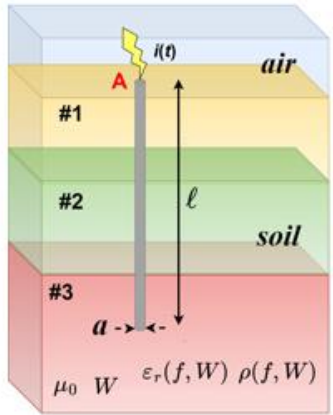
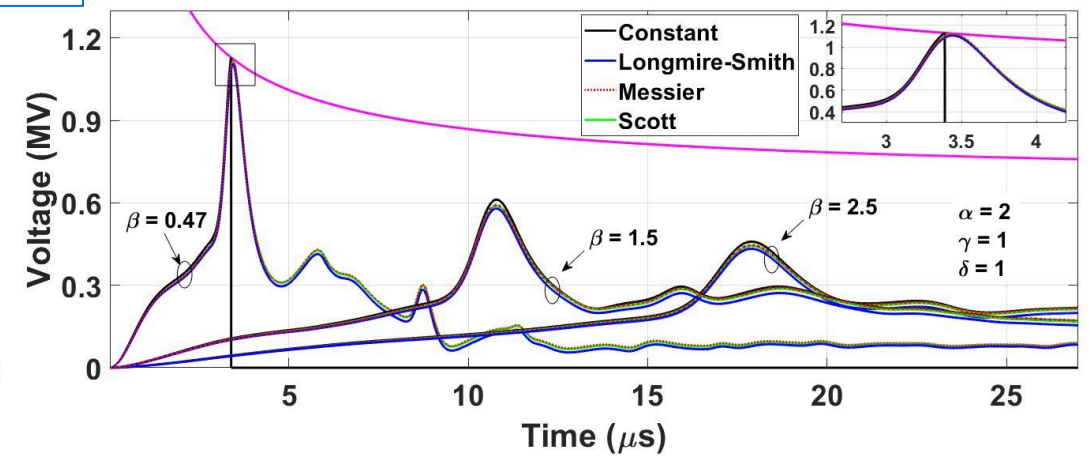
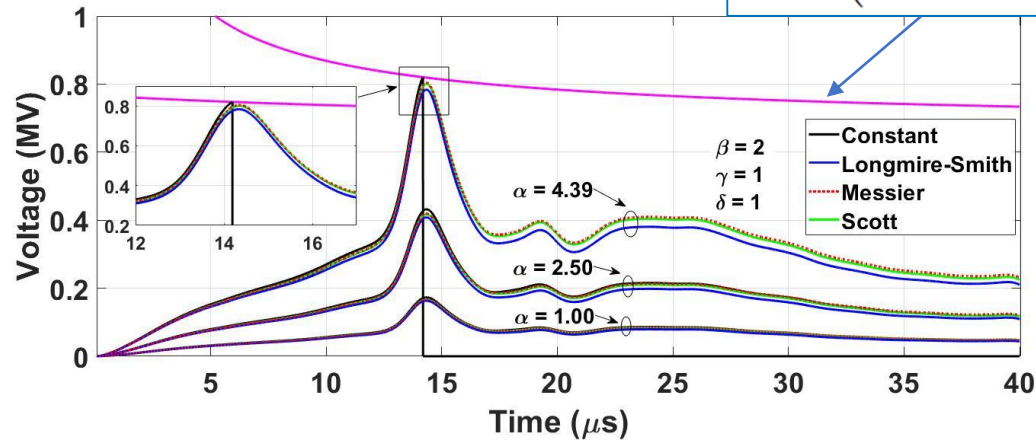
Primeira



Subsequente



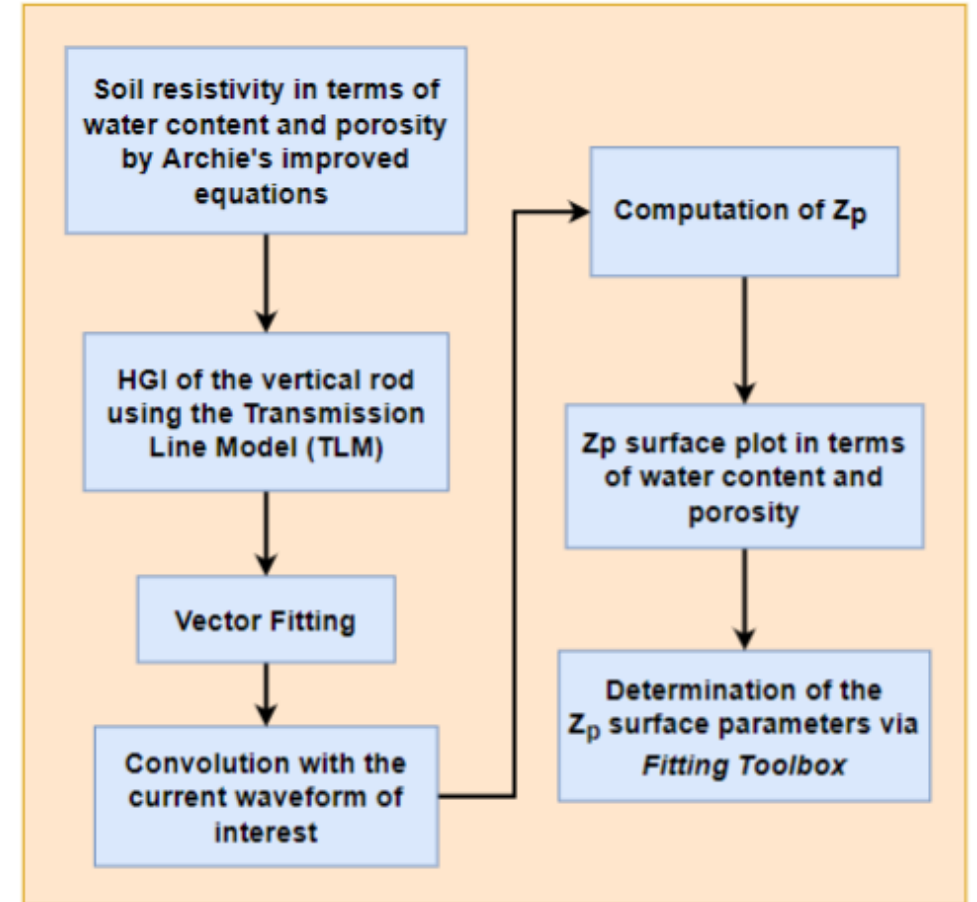
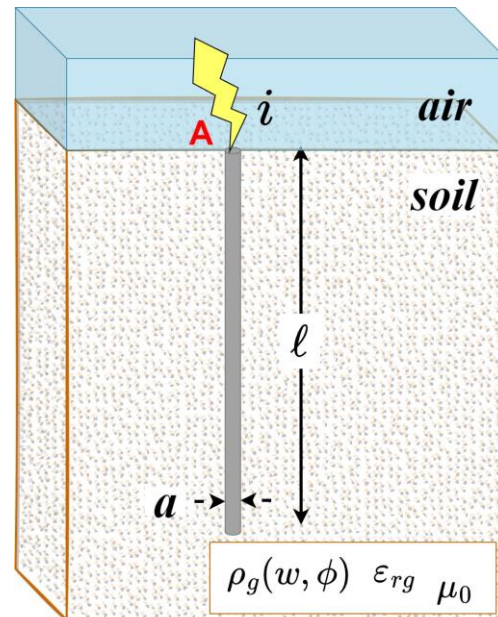
$$V_F = \left(K_1 + \frac{K_2}{t^{0.75}} \right) \ell_s$$



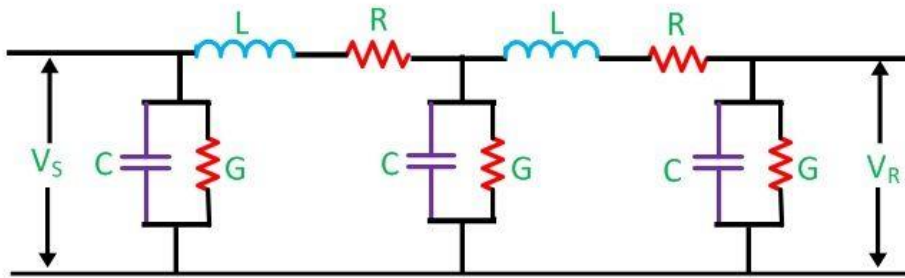
Estudo de Caso

- Estimar rapidamente Z_p de uma haste vertical?
- Parâmetros do solo em termos da porosidade e umidade (Archie), solo arenoso

$$Z_p = \frac{\max [v(t)]}{\max [i(t)]} = \frac{V_p}{I_p}$$



Estudo de Caso



Transmission Line Model
 $Z = R + j\omega L, Y = G + j\omega C$

Circuit Globe

$$L_v = \frac{\mu_g}{2\pi} \left[\ln \left(\frac{2\ell}{a} \right) - 1 \right]$$

$$R_v = \frac{\rho_c}{\pi a^2}$$

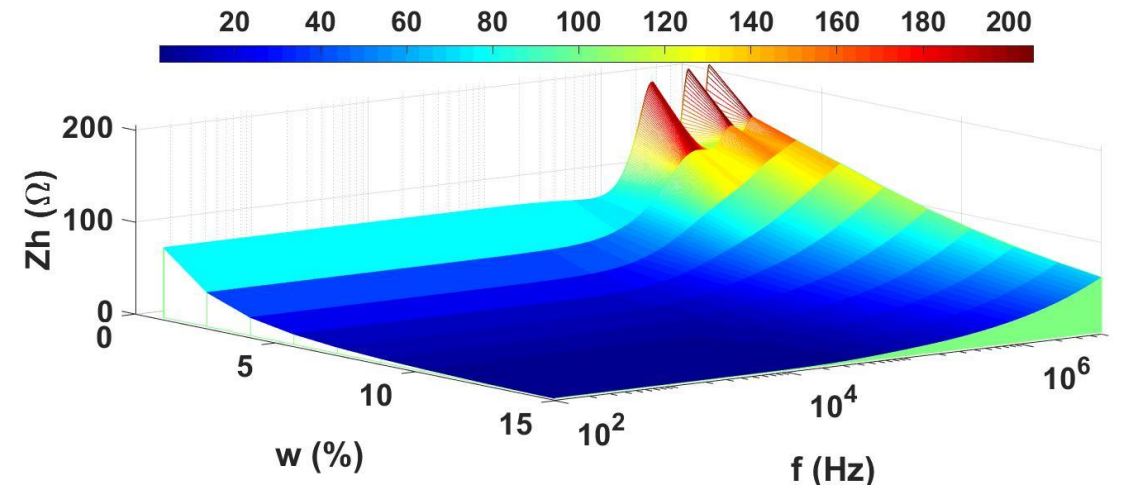
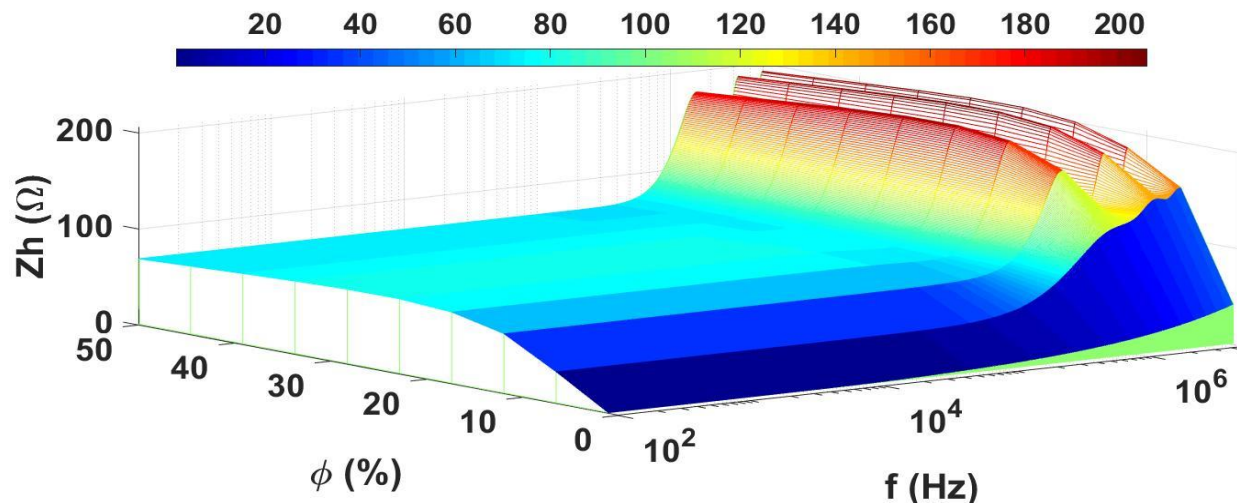
$$G_v = \frac{2\pi}{\rho_g} \left[\ln \left(\frac{4\ell}{a} \right) - 1 \right]^{-1}$$

$$C_v = \epsilon_g \rho_g G_v$$

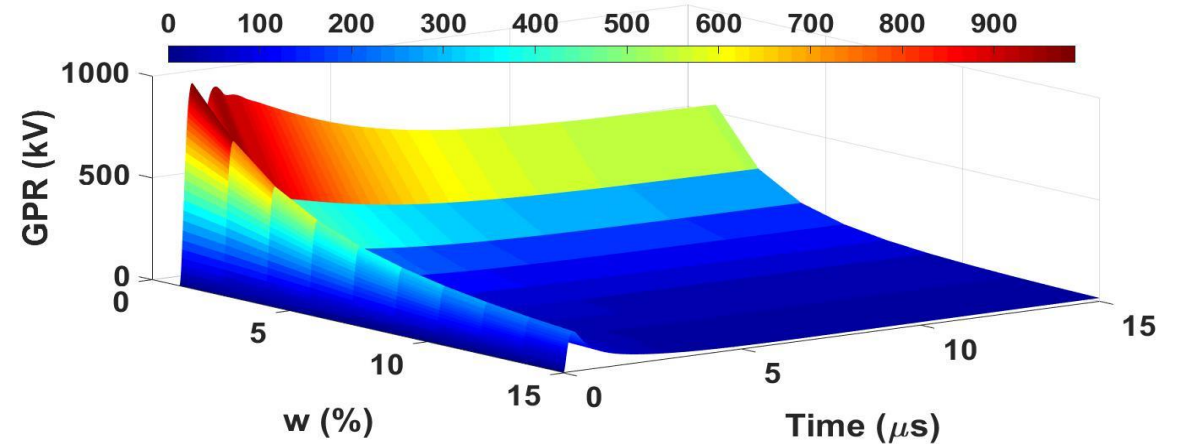
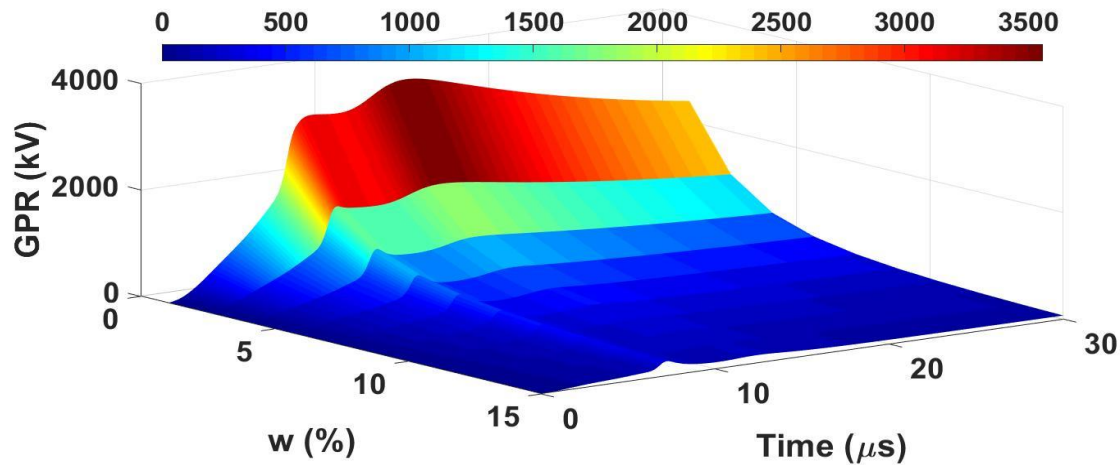
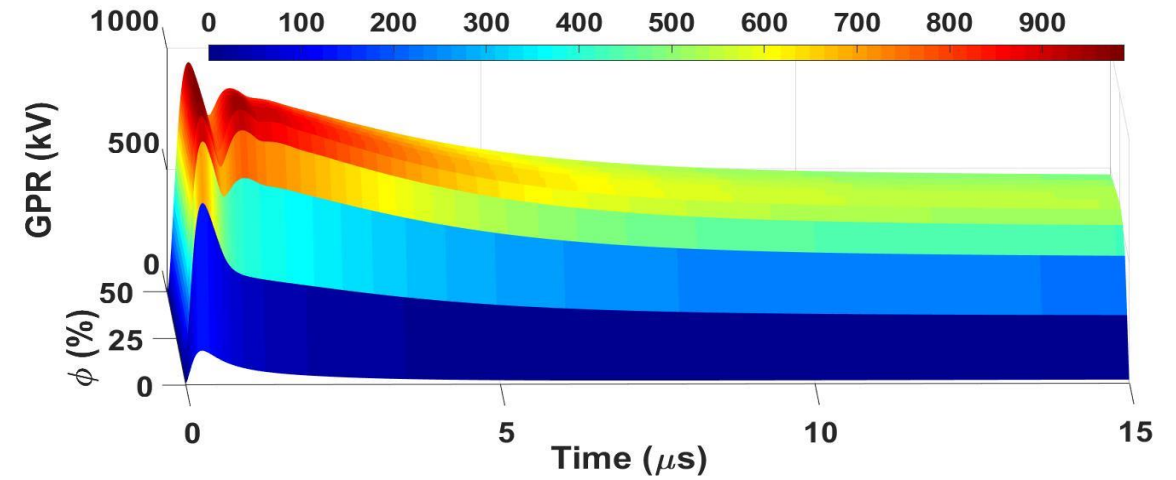
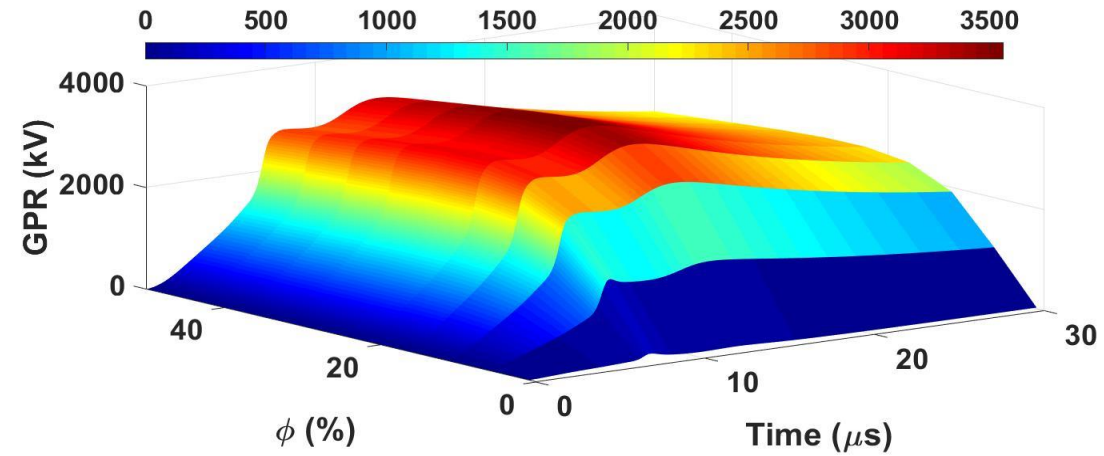
$$Z_h(j\omega) = Z_C(j\omega) \coth(\gamma(j\omega)\ell),$$

$$\gamma(j\omega) = \sqrt{(R_v + j\omega L_v)(G_v + j\omega C_v)},$$

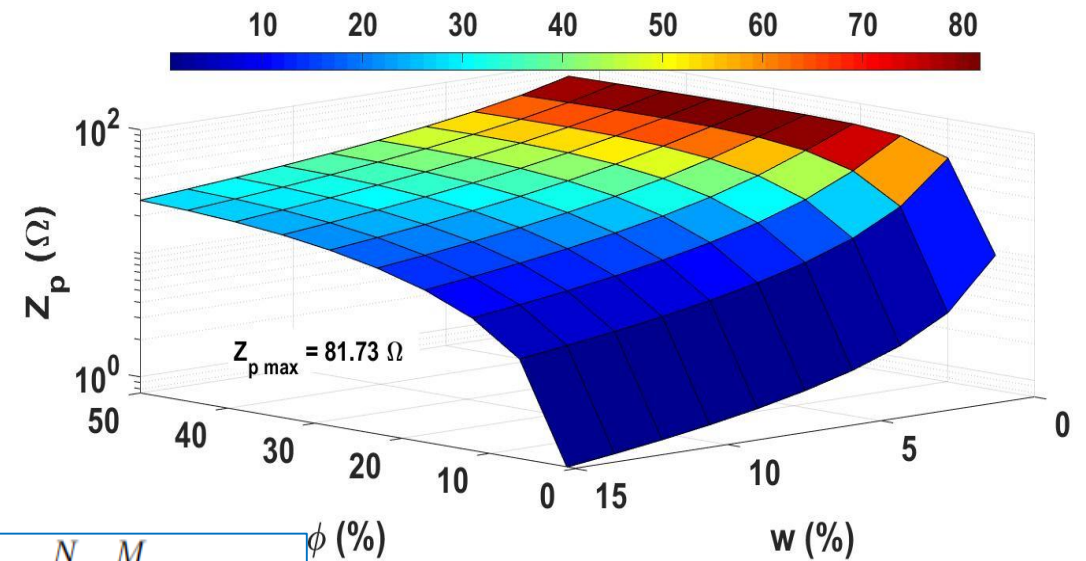
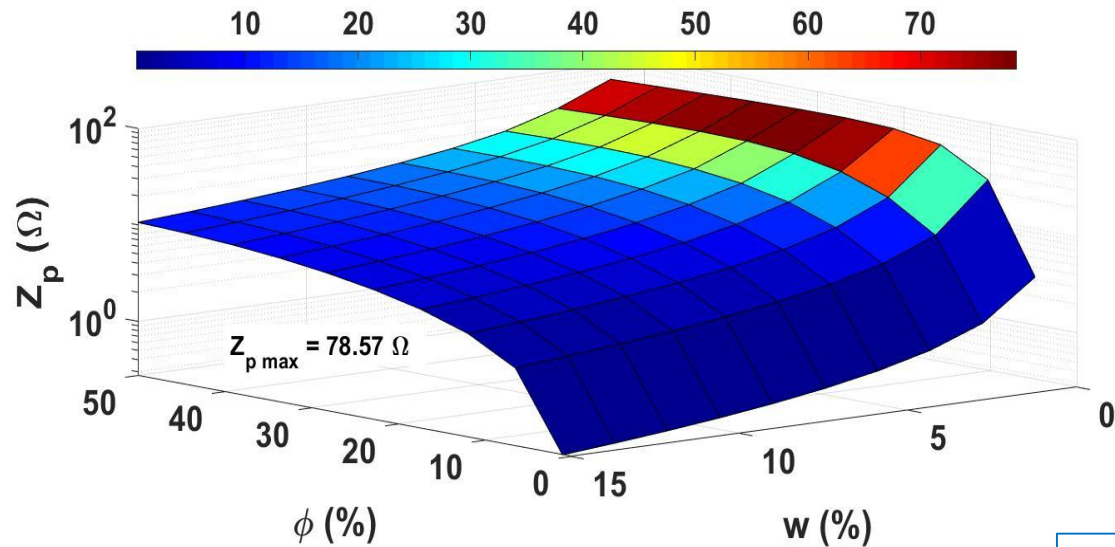
$$Z_C(j\omega) = \sqrt{(R_v + j\omega L_v) / (G_v + j\omega C_v)},$$



Estudo de Caso



Estudo de Caso

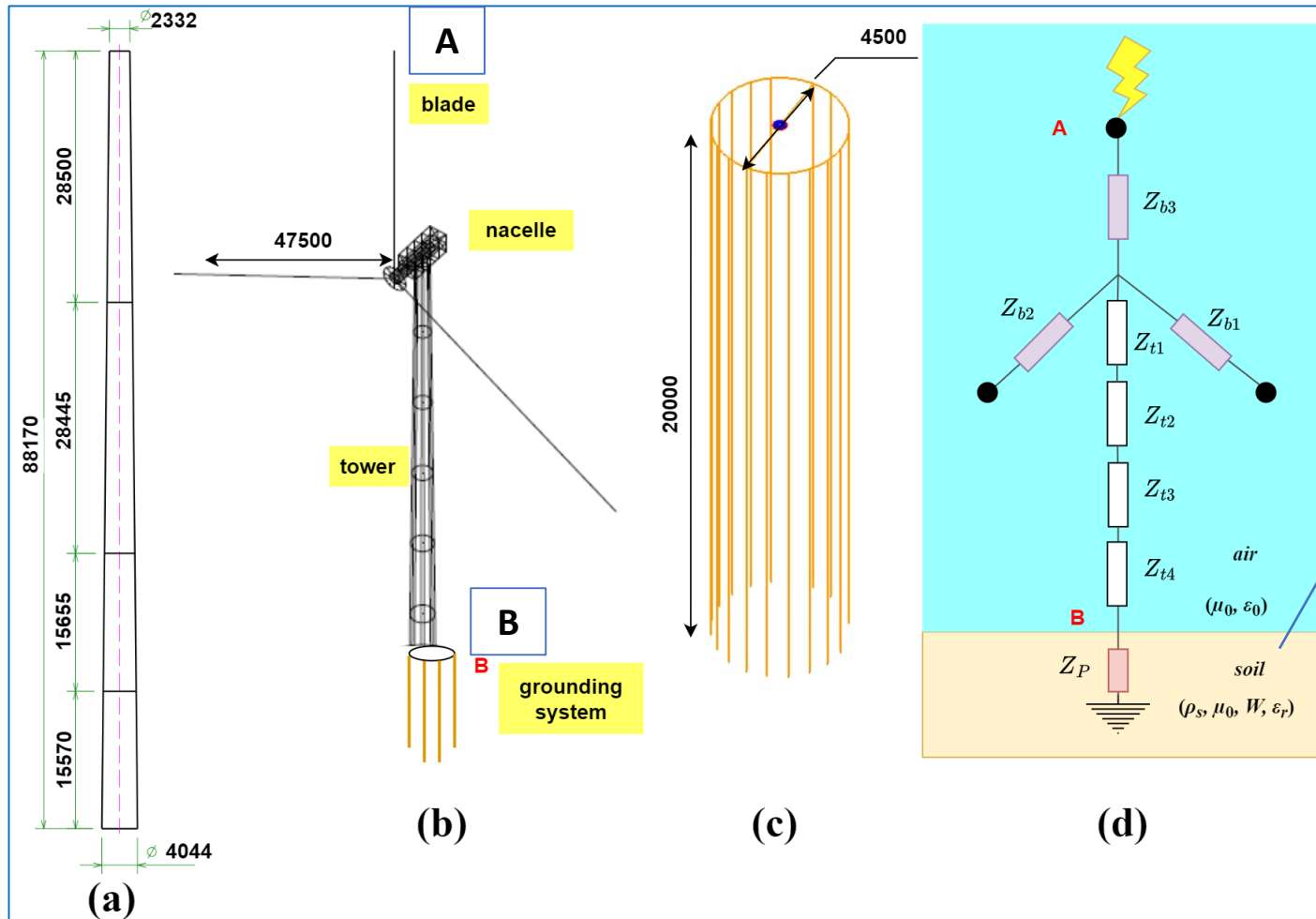


$$Z_p = \frac{\max [v(t)]}{\max [i(t)]} = \frac{V_p}{I_p}$$

$$Z_p^{fit}(w, \phi) = \sum_{i=0}^N \sum_{j=0}^M P_{ij} w^i \phi^j$$

First return stroke - P_{ij}							Subsequent return stroke - P_{ij}						
$i \setminus j$	0	1	2	3	4	5	$i \setminus j$	0	1	2	3	4	5
0	-10.63	24.11	-1.114	-0.1012	0.0089	-1.76e-04	0	-13.68	38.65	-5.134	0.2982	-0.00787	8.16e-05
1	-2.726	-2.26	0.188	-0.0035	-4.26e-05	0	1	-2.636	-1.73	0.2553	-0.01177	1.494e-04	0
2	0.4266	0.05879	-0.0045	7.75e-05	0	0	2	0.2702	0.01419	-0.003124	1.015e-04	0	0
3	-0.0187	-0.00045	2.65e-05	0	0	0	3	-0.00852	2.41e-04	4.44e-06	0	0	0
4	3.32e-04	-6.9e-08	0	0	0	0	4	1.13e-04	-2.57e-06	0	0	0	0
5	-2.11e-06	0	0	0	0	0	5	-5.53e-07	0	0	0	0	0

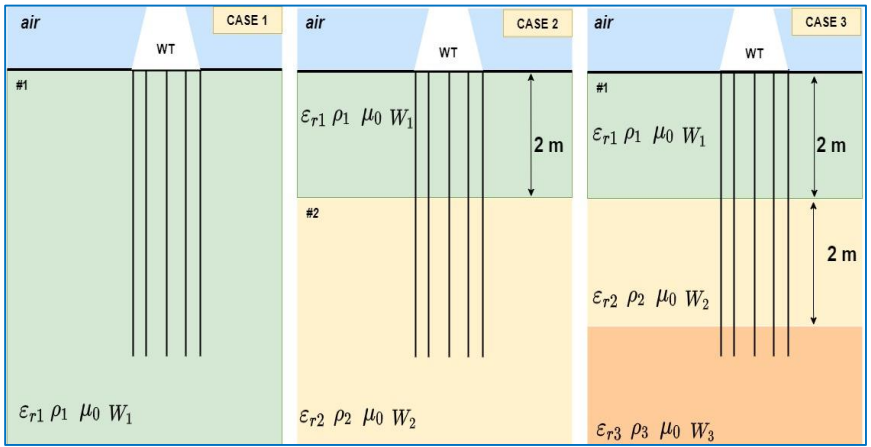
Estudo de Caso: Torre Eólica



CASO 1

CASO 2

CASO 3



W= 2,57%

W1= 2,57%

W2= 4,04%

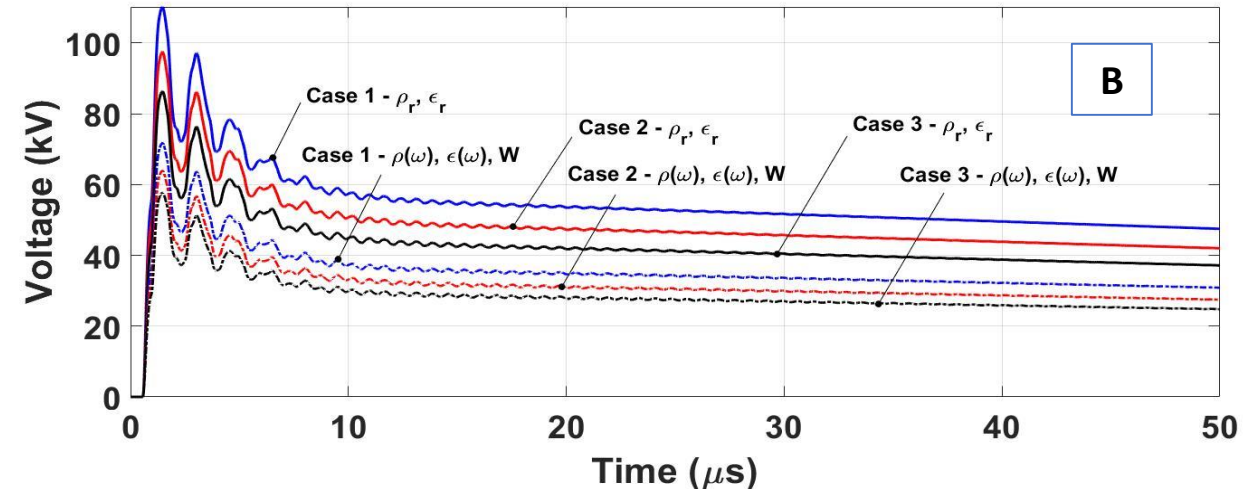
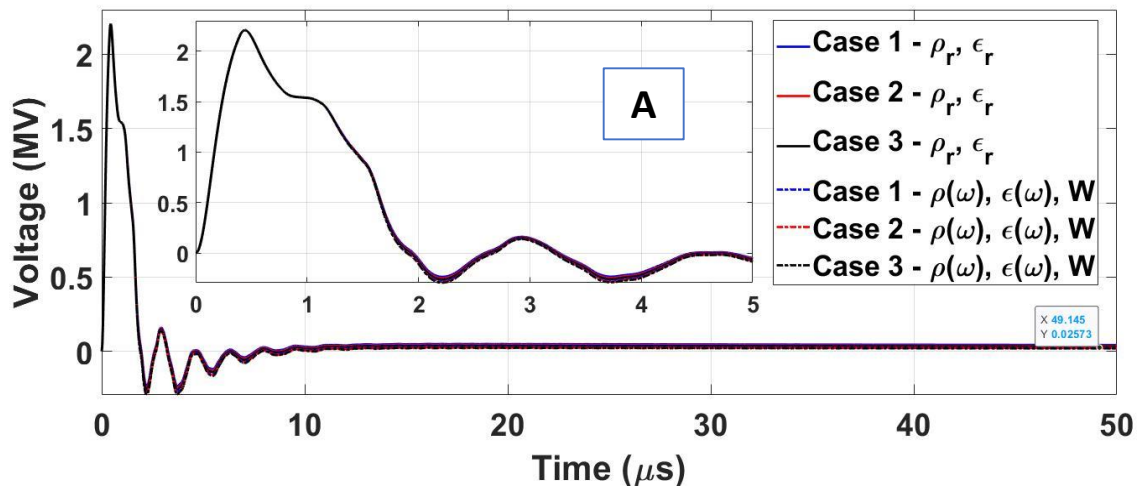
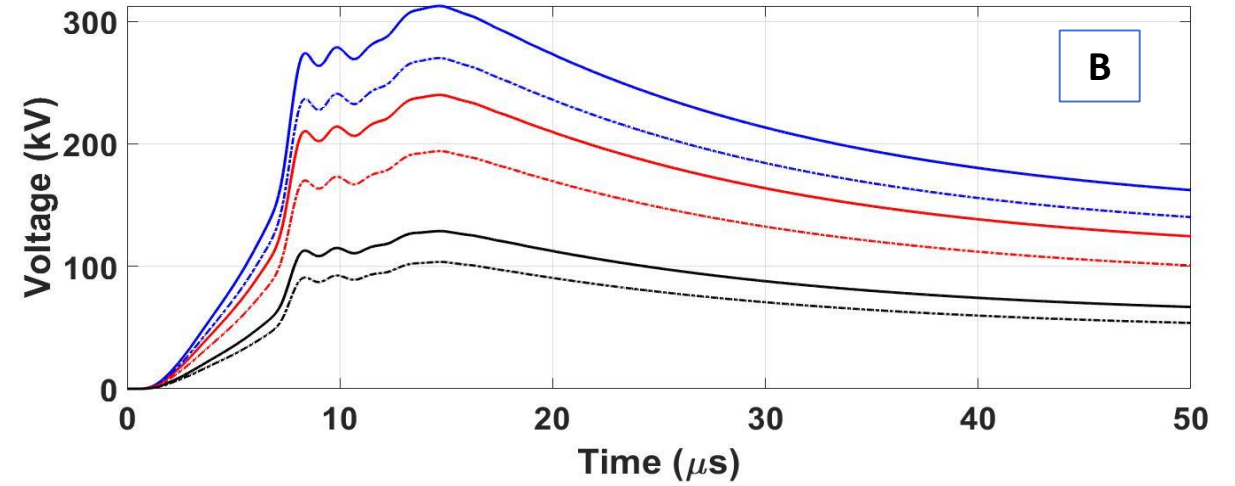
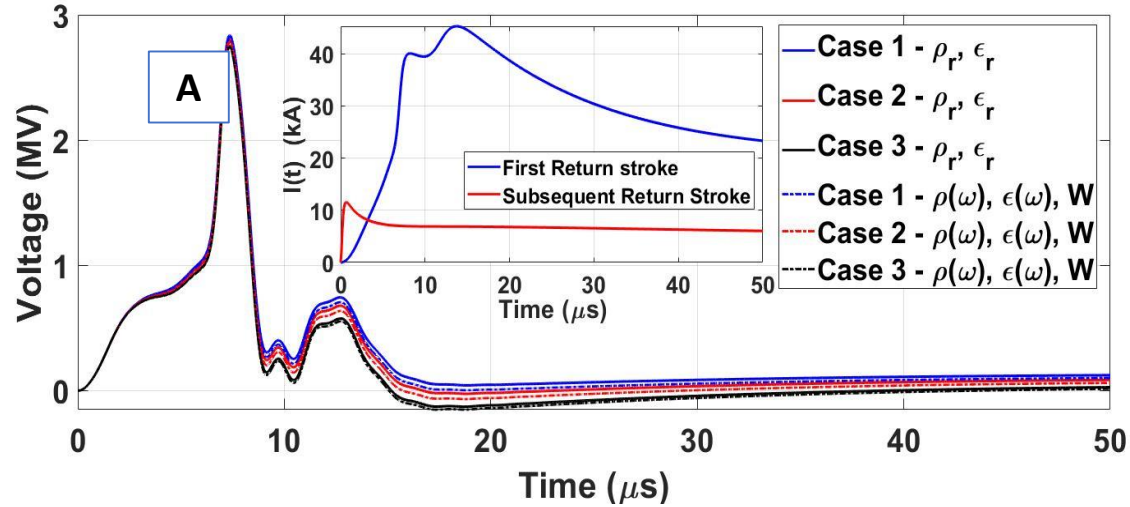
W1= 2,57%

W2= 4,04%

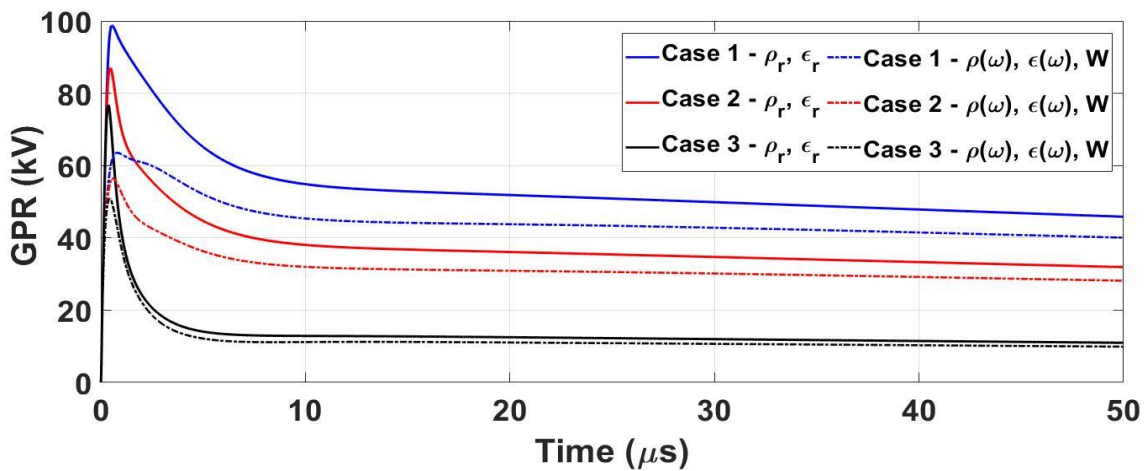
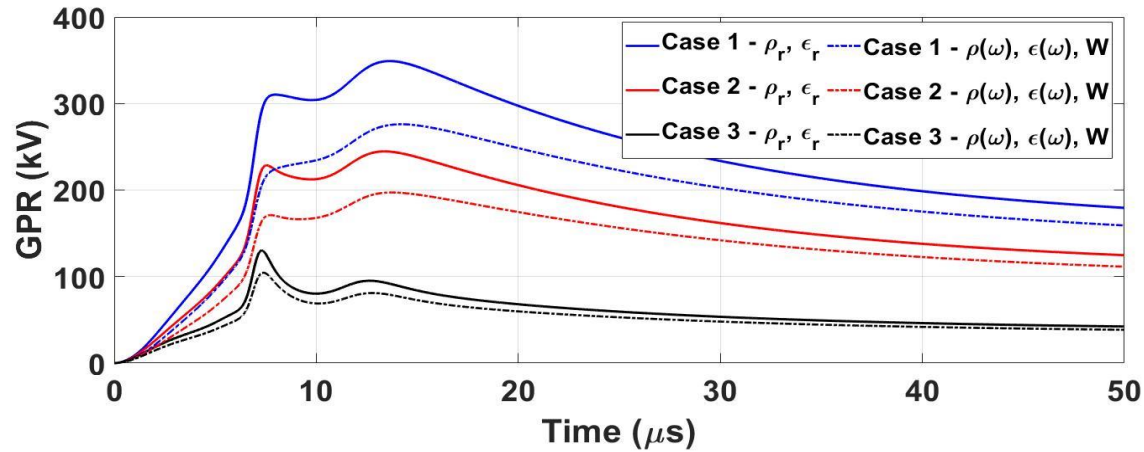
W2= 11,57%

$$Z_p = \frac{\max [v(t)]}{\max [i(t)]} = \frac{V_p}{I_p}$$

Estudo de Caso



Estudo de Caso



	First Stroke			Subsequent Stroke		
	Voltage seen from the point A- with wind turbine					
Case	FC soil	FD soil	$\Delta(\%)$	FC soil	FD soil	$\Delta(\%)$
1	2836.1	2817.5	0.66	2206.5	2206.5	0
2	2804.2	2784.1	0.72	2206.5	2206.5	0
3	2775.5	2744.4	1.12	2206.5	2206.5	0
	Voltage seen from the point B- with wind turbine					
1	312.5	270.0	13.60	110.2	71.8	34.85
2	239.9	194.0	19.13	97.5	64.0	34.36
3	128.7	103.6	19.50	86.3	57.8	33.02
	Voltage seen from point B-without wind turbine					
1	349.0	276.0	20.92	98.7	63.5	35.66
2	244.6	197.2	19.38	87.0	56.5	35.06
3	130.2	104.5	19.74	76.8	50.9	33.72

Obrigado!

w157573@dac.unicamp.br

IT 006 — - Tópicos em Sistemas de Energia Elétrica III

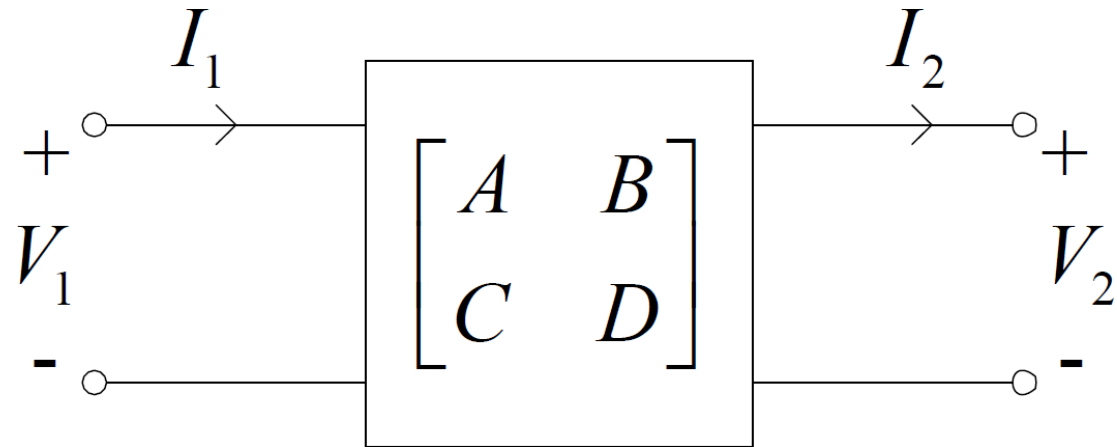
AGOSTO 2023

Prof. Dr. José Pissolato Filho

Matriz ABCD

\Rightarrow Matriz

ABCD

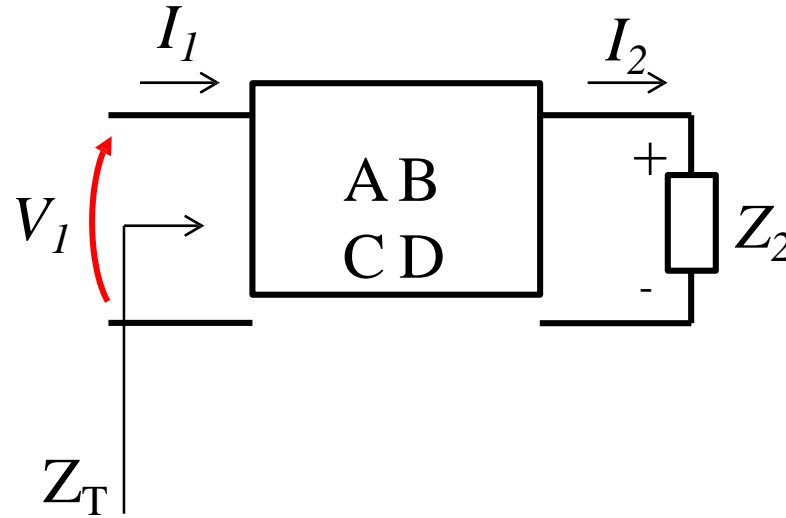


⇒ **Matriz ABCD**

$$\begin{bmatrix} V_1 \\ I_1 \end{bmatrix} = \begin{bmatrix} A & B \\ C & D \end{bmatrix} \cdot \begin{bmatrix} V_2 \\ I_2 \end{bmatrix}$$

(1)

⇒ Matriz
ABCD



⇒ A partir da matriz anterior podemos extrair as seguintes relações:

$$V_1 = A.V_2 + B.I_2 \quad (2)$$

$$I_1 = C.V_2 + D.I_2 \quad (3)$$

⇒ Matriz

ABCD

⇒ Dividindo (1) por (2) e posteriormente dividindo o resultado por I_2 , temos:

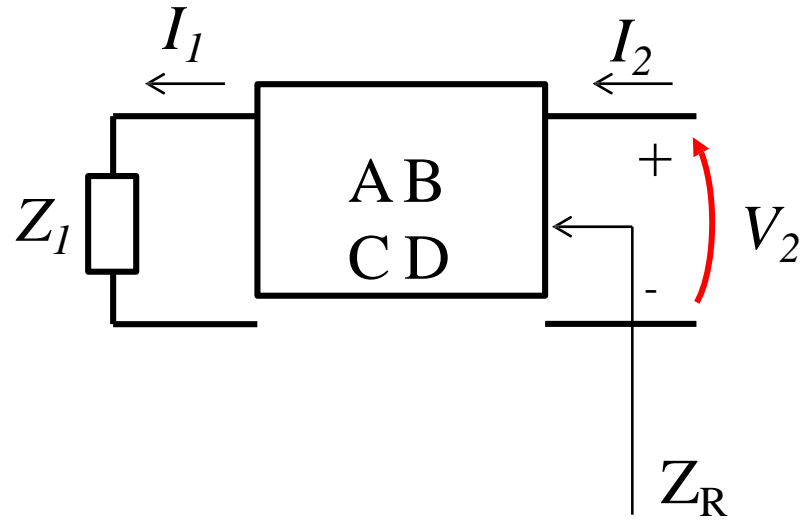
$$\frac{V_1}{I_2} = A \cdot \frac{V_2}{I_2} + B \cdot \frac{I_2}{I_2}$$
$$\frac{I_1}{I_2} = C \cdot \frac{V_2}{I_2} + D \cdot \frac{I_2}{I_2}$$

⇒ Como resultado obtém-se:

$$Z_T = \frac{A \cdot Z_2 + B}{C \cdot Z_2 + D}$$

(4)

⇒ Matriz
ABCD



⇒ De forma análoga, podemos obter:

$$Z_R = \frac{D \cdot Z_1 + B}{C \cdot Z_1 + A}$$

(5)

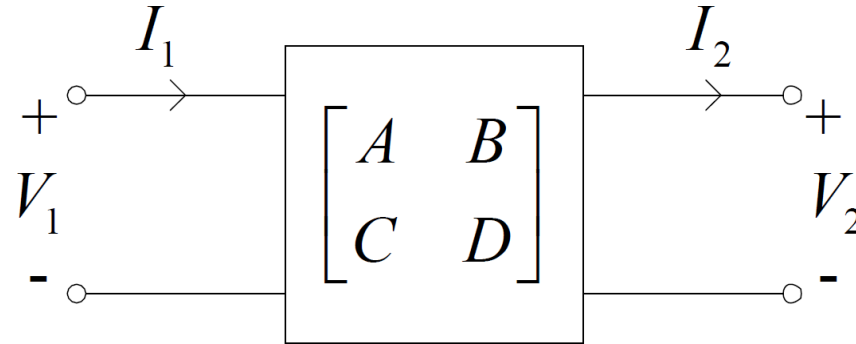
⇒ Matriz

ABCD

⇒ Onde:

$$\begin{aligned} A &= \left. \frac{V_1}{V_2} \right|_{I_2=0}, & B &= \left. \frac{V_1}{I_2} \right|_{V_2=0} \\ C &= \left. \frac{I_1}{V_2} \right|_{I_2=0}, & D &= \left. \frac{I_1}{I_2} \right|_{V_2=0} \end{aligned} \quad (6)$$

⇒ Matriz
ABCD



$$V_1 = Z_{11} \cdot I_1 + Z_{12} \cdot I_2$$

$$V_2 = Z_{21} \cdot I_1 + Z_{22} \cdot I_2$$

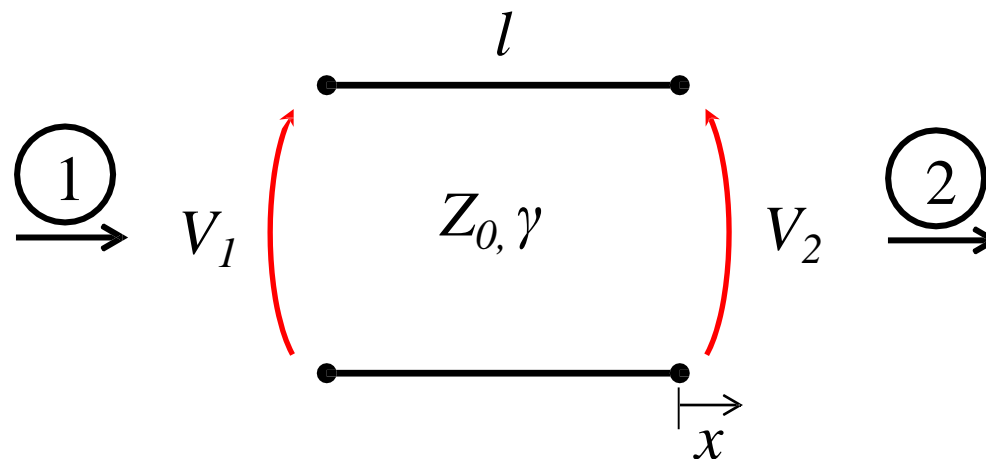
$$\begin{pmatrix} V_1 \\ V_2 \end{pmatrix} = \begin{pmatrix} Z_{11} & Z_{12} \\ Z_{21} & Z_{22} \end{pmatrix} \cdot \begin{pmatrix} I_1 \\ I_2 \end{pmatrix}$$

$$\left\{ \begin{array}{l} (V) = (Z) \cdot (I) \\ \text{ou} \\ (I) = (Y) \cdot (V) \end{array} \right. \quad (7)$$

⇒ Matriz

ABCD

⇒ Seção de comprimento l da linha:



$$V(x) = V^+ \cdot e^{-\gamma x} + V^- \cdot e^{\gamma x} \quad (8)$$

$$I(x) = \frac{V^+}{Z_0} \cdot e^{-\gamma x} - \frac{V^-}{Z_0} \cdot e^{\gamma x} \quad (9)$$

Onde:

$$\gamma = \alpha + j\beta \quad (10)$$

⇒ Matriz

ABCD

⇒ Avaliando os parâmetros a partir de x e fazendo $V(0) = V_2$ e $I(0) = I_2$ em (8) e (9) temos:

$$V^+ + V^- = V_2 \quad (11)$$

$$V^+ - V^- = I_2 \cdot Z_0 \quad (12)$$

⇒ Resolvendo o sistema, temos:

$$V^+ = \frac{1}{2} (V_2 + I_2 \cdot Z_0) \quad (13)$$

$$V^- = \frac{1}{2} (V_2 - I_2 \cdot Z_0) \quad (14)$$

⇒ Matriz

ABCD

⇒ Substituindo (13) e (14) em (8) e (9)

$$V(x) = V_2 \cdot \left(\frac{e^{\gamma x} + e^{-\gamma x}}{2} \right) + I_2 \cdot Z_0 \cdot \left(\frac{e^{-\gamma x} - e^{\gamma x}}{2} \right) \quad (15)$$

$$I(x) = \frac{V_2}{Z_0} \cdot \left(\frac{e^{-\gamma x} - e^{\gamma x}}{2} \right) + I_2 \cdot \left(\frac{e^{\gamma x} + e^{-\gamma x}}{2} \right) \quad (16)$$

⇒ Observando-se que:

$$\cosh(x) = \frac{e^{-\gamma x} + e^{\gamma x}}{2}$$

$$-\sinh(x) = \frac{e^{-\gamma x} - e^{\gamma x}}{2}$$

⇒ Matriz

ABCD

⇒ Temos para um comprimento l (sentido carga-fonte):

$$V(-l) = V_1 = V_2 \cdot \cosh(\gamma l) + I_2 \cdot Z_0 \cdot \sinh(\gamma l) \quad (17)$$

$$I(-l) = I_1 = \frac{V_2}{Z_0} \cdot \sinh(\gamma l) + I_2 \cdot \cosh(\gamma l) \quad (18)$$

⇒ Comparando com a matriz ABCD:

$$\begin{bmatrix} V_1 \\ I_1 \end{bmatrix} = \begin{bmatrix} A & B \\ C & D \end{bmatrix} \cdot \begin{bmatrix} V_2 \\ I_2 \end{bmatrix}$$

⇒ Matriz

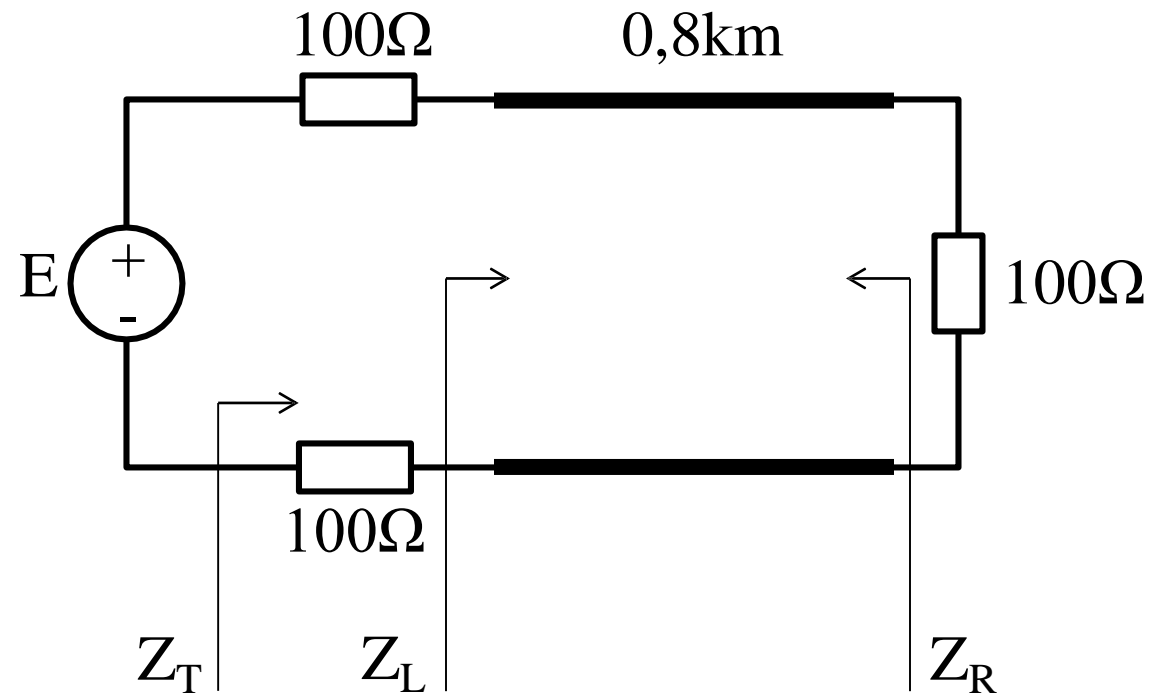
ABCD

$$\begin{bmatrix} A & B \\ C & D \end{bmatrix} = \begin{bmatrix} \cosh(\gamma l) & Z_0 \cdot \operatorname{senh}(\gamma l) \\ \frac{1}{Z_0} \cdot \operatorname{senh}(\gamma l) & \cosh(\gamma l) \end{bmatrix}$$

⇒ Matriz

ABCD

⇒ Exemplo:



⇒ Matriz

ABCD

⇒ Dados:

$$\alpha = 0$$

$$\beta = 3 \text{ dB/km}$$

$$Z_0 = 200\Omega$$

- a) Calcule a matriz ABCD entre a fonte e a carga.
- b) Determine a impedância vista pela fonte.
- c) Determine Z_R .
- d) Determine Z_L .

⇒ Matriz

$$A = \alpha + j\beta = j3$$

$$\gamma l = j3 \cdot 0,8 = j2,4$$

$$A'' = D'' = \cosh(\gamma l) = \cosh(j2,4) = -0,7374$$

$$B'' = Z_0 \cdot \sinh(\gamma l) = 200 \cdot \sinh(j2,4) = j135,1$$

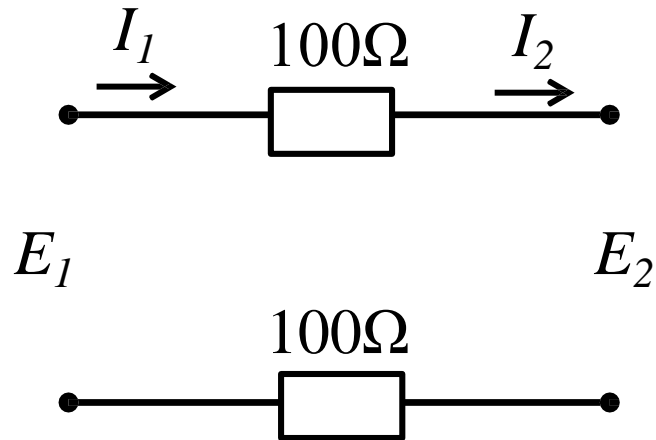
$$C'' = \frac{1}{Z_0} \cdot \sinh(\gamma l) = \frac{1}{200} \cdot \sinh(j2,4) = j3,377 \cdot 10^{-3}$$

⇒ Matriz

ABCD

⇒ Encontrando a matriz ABCD entre a fonte e a linha.

$$\begin{bmatrix} V_1 \\ I_1 \end{bmatrix} = \begin{bmatrix} A & B \\ C & D \end{bmatrix} \cdot \begin{bmatrix} V_2 \\ I_2 \end{bmatrix}$$



$$E_1 = A' \cdot E_2 + B' \cdot I_2$$

$$I_1 = C' \cdot E_2 + D' \cdot I_2$$

$$E_1 = E_2 + 200 \cdot I_2$$

$$I_1 = 0 \cdot E_2 + I_2$$

$$\begin{pmatrix} A' & B' \\ C' & D' \end{pmatrix} = \begin{pmatrix} 1 & 200 \\ 0 & 1 \end{pmatrix}$$

⇒ **Matriz ABCD**

⇒ Matriz ABCD entre a fonte e a carga.

$$\begin{pmatrix} A & B \\ C & D \end{pmatrix} = \begin{pmatrix} A' & B' \\ C' & D' \end{pmatrix} \cdot \begin{pmatrix} A'' & B'' \\ C'' & D'' \end{pmatrix}$$

$$\begin{pmatrix} A & B \\ C & D \end{pmatrix} = \begin{pmatrix} 1 & 200 \\ 0 & 1 \end{pmatrix} \cdot \begin{pmatrix} -0,7374 & j135,1 \\ j3,37 \cdot 10^{-3} & -0,7374 \end{pmatrix}$$

$$\begin{pmatrix} A & B \\ C & D \end{pmatrix} = \begin{pmatrix} -0,7374 + j0,6755 & -147,5 + j135,1 \\ j3,37 \cdot 10^{-3} & -0,7374 \end{pmatrix}$$

⇒ **Matriz ABCD**

⇒ Impedâncias Z_T , Z_R , Z_L .

$$Z_T = \frac{A \cdot Z_2 + B}{C \cdot Z_2 + D} = 369,9 \angle -17,89^\circ$$

$$Z_R = \frac{D \cdot Z_1 + B}{C \cdot Z_1 + A} = 200 \Omega$$

$$Z_L = \frac{A'' \cdot Z_2 + B''}{C'' \cdot Z_2 + D''} = 189,8 \angle -36,77^\circ$$